

PROD. TEC. ITV DS / N029/2019

DOI: 10.29223/PROD.TEC.ITV.DS.2019.29.Giannini

## **PRODUÇÃO TÉCNICA ITV DS**

### **A FLORA DAS CANGAS DE CARAJÁS E SUAS SÍNDROMES DE POLINIZAÇÃO SOB DIFERENTES CENÁRIOS DE MUDANÇAS CLIMÁTICAS**

Relatório final para cumprimento de meta

Tereza Cristina Giannini

André Luis Acosta

Wilian França Costa

Leonardo Miranda

Carlos Eduardo Pinto

Maurício Takashi Coutinho Watanabe

Daniela Zappi

Ana Maria Giulietti

Vera Lucia Imperatriz-Fonseca

Belém / PA

Dezembro/2019

<b>Título:</b> A flora das Cangas de Carajás e suas síndromes de polinização sob diferentes cenários de mudanças climáticas.	
<b>PROD.TEC.ITV DS – N028/2019</b>	Revisão
<b>Classificação:</b> ( ) Confidencial ( ) Restrito ( ) Uso Interno ( ) Público	00

**Informações Confidenciais** - Informações estratégicas para o Instituto e sua Mantenedora. Seu manuseio é restrito a usuários previamente autorizados pelo Gestor da Informação.

**Informações Restritas** - Informação cujo conhecimento, manuseio e controle de acesso devem estar limitados a um grupo restrito de empregados que necessitam utilizá-la para exercer suas atividades profissionais.

**Informações de Uso Interno** - São informações destinadas à utilização interna por empregados e prestadores de serviço

**Informações Públicas** - Informações que podem ser distribuídas ao público externo, o que, usualmente, é feito através dos canais corporativos apropriados

#### Dados Internacionais de Catalogação na Publicação (CIP)

G433 Giannini, Tereza Cristina A flora das Cangas de Carajás e suas síndromes de polinização sob diferentes cenários de mudanças climáticas. / Tereza Cristina Giannini ... [et al.] – Belém, PA: ITV, 2019. 32. p. : il.
1. Biodiversidade. 2. Flora - Polinização. 3. Conservação - Amazônia. I. Acosta, André Luis. II. Costa, William França. III. Miranda, Leonardo. IV. Pinto, Carlos Eduardo. V. Watanabe, Mauricio Takashi Coutinho. VI. Zappi, Daniela. VII. Giulietti, Ana Maria. VIII. Imperatriz-Fonseca, Vera Lúcia. IX. Título  CDD. 23. ed. 581.098115

Bibliotecário (a) Responsável: Nisa Gonçalves - CRB 2 - 525

## RESUMO

A mudança de clima tem impactado negativamente a biodiversidade. No que diz respeito à flora, tal impacto pode alterar a fenologia e a distribuição geográfica das espécies, bem como a interação com seus polinizadores. Em áreas megadiversas, como as florestas tropicais, estudos de interação planta-polinizador, considerando-se todas as espécies da flora, não são factíveis devido ao trabalho de campo extenso e custoso. Nesse caso, a síndrome de polinização pode ser utilizada. O presente trabalho visou avaliar o impacto das mudanças climáticas na flora das cangas da Floresta Nacional de Carajás, bem como, seus efeitos nas interações com seus polinizadores através de síndromes de polinização. Foram analisadas 608 espécies divididas em oito síndromes. Dois cenários de emissão de gases de efeito estufa foram empregados para 2050 e 2070. A maioria das espécies enfrentará potencial redução das áreas climaticamente adequadas a suas ocorrências. Do total, 257 espécies de plantas (42%) poderão não encontrar áreas adequadas em Carajás, devido às mudanças climáticas, em qualquer dos cenários utilizados. Em números absolutos, a síndrome de melitofilia (polinização por abelhas) será potencialmente a mais afetada; em números relativos, a cantarofilia (besouros). Quando o conjunto de espécies é analisado, as áreas de maior adequabilidade potencial futura são as do norte e oeste do estado do Pará. Quando se observam as síndromes separadamente, as áreas norte-nordeste são e permanecerão adequadas à maioria das espécies. A perda de interação associada à mudança de clima é uma ameaça suplementar às espécies. A proteção das áreas mais estáveis, que podem representar refúgios climáticos, bem como o aumento de conectividade entre Carajás e essas áreas são estratégias que podem auxiliar na proteção das espécies. Assim, antecipar a consequência potencial de tais impactos é uma iniciativa importante para a conservação das espécies da flora das cangas de Carajás.

**Palavras chave:** Interação planta-polinizador. Amazônia. Conservação. Biodiversidade.

## ABSTRACT

Climate change has negatively impacted biodiversity. With regard to flora, such impact may alter the phenology and geographical distribution of species, as well as the interaction with their pollinators. In megadiverse areas, such as rainforests, plant-pollinator interaction studies, considering all flora species, are not feasible due to extensive and costly field work. In this case, pollination syndrome may be used. The present work aimed to evaluate the impact of climate change on the flora of the canga in the Carajás National Forest, as well as its effects on interactions with its pollinators through pollination syndromes. 608 species divided into eight syndromes were analysed. Two scenarios of greenhouse gas emissions were used for 2050 and 2070. Most species will face potential reduction in areas that are climatically suitable to their occurrences. Of the total, 257 plant species (42%) may not find suitable areas in Carajás due to climate change in any of the scenarios used. In absolute numbers, melitophily (bee pollination) syndrome is potentially the most affected; in relative numbers, the cantharophily (beetles). When the species set is analysed, the areas with the greatest potential future suitability are those of the north and west of the state of Pará. When the syndromes are observed separately, the north-northeast areas are and will remain adequate for most species. The loss of interaction associated with climate change is an additional threat to species. The protection of the most stable areas, which may represent climate refuges, as well as the increased connectivity between Carajas and these areas are strategies that can help in the protection of species. Thus, anticipating the potential consequence of such impacts is an important initiative for the conservation of Carajás canga's flora species.

**Keywords:** Plant-pollinator interaction. Amazon. Conservation. Biodiversity.

## LISTA DE ILUSTRAÇÕES

<b>Figura 1 -</b>	Cangas localizadas na Floresta Nacional de Carajás e no Parque Nacional Campos Ferruginosos .....	10
<b>Figura 2 -</b>	Porcentagem das espécies cujos pontos de ocorrência estão predominantemente associados com florestas ( $\geq 75\%$ dos pontos) ou com áreas abertas ( $< 75\%$ ) (total = 483.633 pontos) .....	13
<b>Tabela 1 -</b>	Número de espécies de plantas das cangas de Carajás modeladas, considerando-se cada síndrome de polinização, e número de espécies que potencialmente, não encontrarão habitats adequados em qualquer dos cenários futuros .....	13
<b>Figura 3 -</b>	Dinâmica de área, em termos de perda-ganho proporcional à área projetada para o presente .....	15
<b>Figura 4 -</b>	Impacto da mudança climática considerando-se todas as espécies da flora das cangas da Floresta Nacional de Carajás e do Parque Nacional dos Campos Ferruginosos (polígono em preto no sudoeste do estado). A variação da escala corresponde a porcentagem de espécies presentes por pixel (Máx = 100%) .....	16
<b>Figura 5 -</b>	Impacto potencial da mudança climática sobre as plantas das cangas da Floresta Nacional de Carajás e do Parque Nacional dos Campos Ferruginosos (polígono em preto no sudoeste do estado), considerando-se suas síndromes de polinização para 2050 e 2070 e o RCP 8,5. A variação da escala corresponde a porcentagem de espécies presentes por pixel (Máx = 100%) .....	17
<b>Figura 6 -</b>	Análise de classificação multinomial (CLAM) das espécies de plantas das cangas de Carajás, de acordo com a quantidade de pixels projetados como presença: preferindo o cenário atual (quadrados verdes); preferindo os cenários futuros (círculos laranjas); generalistas, presentes em ambos os cenários (atual e futuro; cruz pretas); e baixa frequência para ser atribuído preferência (triângulos azuis). A lista de espécies pode ser encontrada no Anexo	19

## **SUMÁRIO**

<b>1</b>	<b>INTRODUÇÃO .....</b>	<b>7</b>
<b>2</b>	<b>MATERIAL E MÉTODOS .....</b>	<b>10</b>
<b>3</b>	<b>RESULTADOS .....</b>	<b>14</b>
<b>4</b>	<b>DISCUSSÃO .....</b>	<b>21</b>
	<b>REFERÊNCIAS .....</b>	<b>26</b>
	<b>ANEXO .....</b>	<b>33</b>

## 1 INTRODUÇÃO

A mudança climática de origem antropogênica tem apresentado efeitos negativos nos ecossistemas e em sua biodiversidade, especialmente devido à rapidez sem precedentes de seu avanço (Pacifici et al. 2015, Venter et al. 2016). A flora pode ser afetada através de diversos mecanismos, dentre eles, incompatibilidade fisiológica e adaptativa com as novas condições climáticas (Ahuja et al. 2010), capacidade reduzida ou inabilidade em dispersar para novos habitats (Corlett and Westcott 2013), ou alterações morfológicas e fenológicas negativas (Cleland et al. 2007). Neste contexto, uma das principais consequências da mudança climática tem sido a alteração da distribuição geográfica original das espécies em busca de novos ambientes com condições adequadas. Por exemplo, mudanças na altitude média de ocorrência de plantas já foram observadas e descritas (Kelly and Goulden 2008, Lenoir et al. 2008, Steinbauer et al. 2018), bem como, mudanças em direção a novas latitudes (Chen et al. 2011).

Associada às alterações na distribuição das espécies, a mudança climática pode também impactar as interações ecológicas. As espécies não ocorrem isoladamente, havendo o estabelecimento de diversos tipos de interação, o que contribui diretamente com a estruturação e o funcionamento dos ecossistemas (Díaz et al. 2013, Fei et al. 2017). Um exemplo de impacto da mudança climática nas interações ocorre quando há quebra de sincronismo espacial; nesse caso, espécies interagentes alteram suas distribuições de forma divergente, ocasionando rompimento na co-ocorrência e, consequentemente, na interação (Schweiger et al. 2008). Esse processo pode também afetar a abundância das espécies interagentes em seus respectivos habitats, degradando interações estabelecidas há muito tempo (Bartomeus et al. 2013). Isso pode conduzir à formação de novas comunidades (Rafferty 2017, Esquivel-Muelbert et al. 2018), ou ocasionar por exemplo, escassez alimentar para as espécies que eram parceiras anteriormente (Corlett and Lafrankie 1998), ou resultar em déficits de polinização (Vanbergen and Insect Pollinators Initiative 2013, Polce et al. 2014). Outro exemplo do efeito das mudanças climáticas nas interações consiste na quebra do sincronismo temporal, gerando desarranjos fenológicos que dificultam ou mesmo

impedem interações interespecíficas que outrora ocorriam naturalmente (Pyke et al. 2016, Wood et al. 2018).

Em regiões tropicais, 90% das espécies de plantas requerem um vetor animal para polinização (Ollerton et al. 2011), tornando esta interação de especial importância. O declínio dos polinizadores tem sido discutido desde a década de 1960 (Carson, 1962; ver também Buchmann e Nabhan 1997), e tem estimulado pesquisas internacionais visando orientar tomada de decisão (Potts et al. 2016). Fatores interagentes, como a perda de habitat, os patógenos, o uso de pesticidas e as mudanças climáticas têm sido propostos como sendo os principais que afetam os polinizadores (Potts et al. 2016). Em biomas megadiversos e com grande carência de dados como a Floresta Amazônica, onde estudos de biologia floral de todas as espécies não são factíveis, a interação entre plantas e polinizadores pode ser inferida usando síndromes de polinização. Tal análise se baseia em um conjunto específico de características da planta, especialmente da flor, tais como, forma, cor, odor, quantidade de néctar e localização do pólen (Faegri e van der Pijl 1979, Fenster et al. 2004). São reconhecidos alguns tipos principais de síndrome de polinização: melitofilia (o vetor de polinização são as abelhas), falenofilia (mariposas), psicofilia (borboletas), cantarofilia (besouros), entomofilia (insetos não especificados), ornitofilia (aves), quiropterofilia (morcegos) e anemofilia (vento). Foi demonstrado que a morfologia floral é um fator importante que restringe o número de interações possíveis com os polinizadores (Stang et al. 2007), o que pode auxiliar nos passos iniciais dos processos de tomada de decisão, visando compreender as interações entre as espécies vegetais e seus polinizadores. Assim, a determinação de síndromes de polinização em comunidades de plantas tem sido útil para identificar os polinizadores mais importantes (Stang et al. 2006).

A interação entre a flora das cangas e seus polinizadores ainda é pouco conhecida. Tal vegetação ocorre em afloramentos rochosos onde o solo apresenta alta concentração de ferro (Mota et al. 2018). Ela é composta por ervas e arbustos anuais e perenes que ocorrem em topes de morro, contrastando visivelmente com as áreas de floresta tropical ao redor. Esse tipo de vegetação pode ser encontrado em áreas da Floresta Amazônica, tais como, na Floresta Nacional de Carajás e no Parque Nacional dos Campos Ferruginosos (sudeste do estado do Pará), em altitudes que variam de 280-

904 m (média 607 m) (Souza-Filho et al. 2019). Nas áreas de topo de morro, sob altitudes mais elevadas, o impacto das mudanças de clima sobre a biodiversidade provavelmente será mais severo (Coston et al. 2015). Já foi demonstrado que diferentes espécies que ocorrem em gradientes de elevação mudaram suas distribuições nos últimos anos, com resultante aumento de altitude, em busca de áreas com clima mais adequado (Kelly and Goulden 2008, Lenoir et al. 2008, Steinbauer et al. 2018). No entanto, tais espécies nem sempre poderão ajustar suas distribuições para áreas climaticamente mais amenas devido a limitações em suas capacidades de dispersão, o que as torna particularmente vulneráveis (Colwell et al. 2008; Bertrand et al. 2011). Assim, entender e antecipar as respostas das espécies às mudanças de clima, especialmente as que ocorrem no topo dos morros, é imperativo para ajudar na compreensão do funcionamento e resiliência dos ecossistemas, um passo importante para os programas de conservação (Kissling et al. 2018). Sabe-se que, especificamente na Amazônia, as mudanças climáticas podem alterar a intensidade (Intergovernmental Panel on Climate Change - IPCC 2014), a frequência (Marengo et al. 2009) e a duração de eventos climáticos extremos (Christensen et al. 2007), com consequência direta nas espécies e suas interações.

O objetivo central do presente trabalho consiste em avaliar o impacto das mudanças climáticas na flora das cangas da Floresta Nacional de Carajás e do Parque Nacional dos Campos Ferruginosos, bem como, seus efeitos nas interações entre a flora e seus polinizadores através das síndromes de polinização. Mais especificamente, o presente trabalho determina [i] quais espécies da flora, potencialmente, não irão encontrar habitats adequados no futuro nas áreas de estudo devido às mudanças climáticas; [ii] quais síndromes de polinização serão potencialmente mais afetadas; [iii] quais as áreas prioritárias para ocorrência futura do conjunto de espécies reportadas na flora e suas síndromes de polinização.

## 2 MATERIAL E MÉTODOS

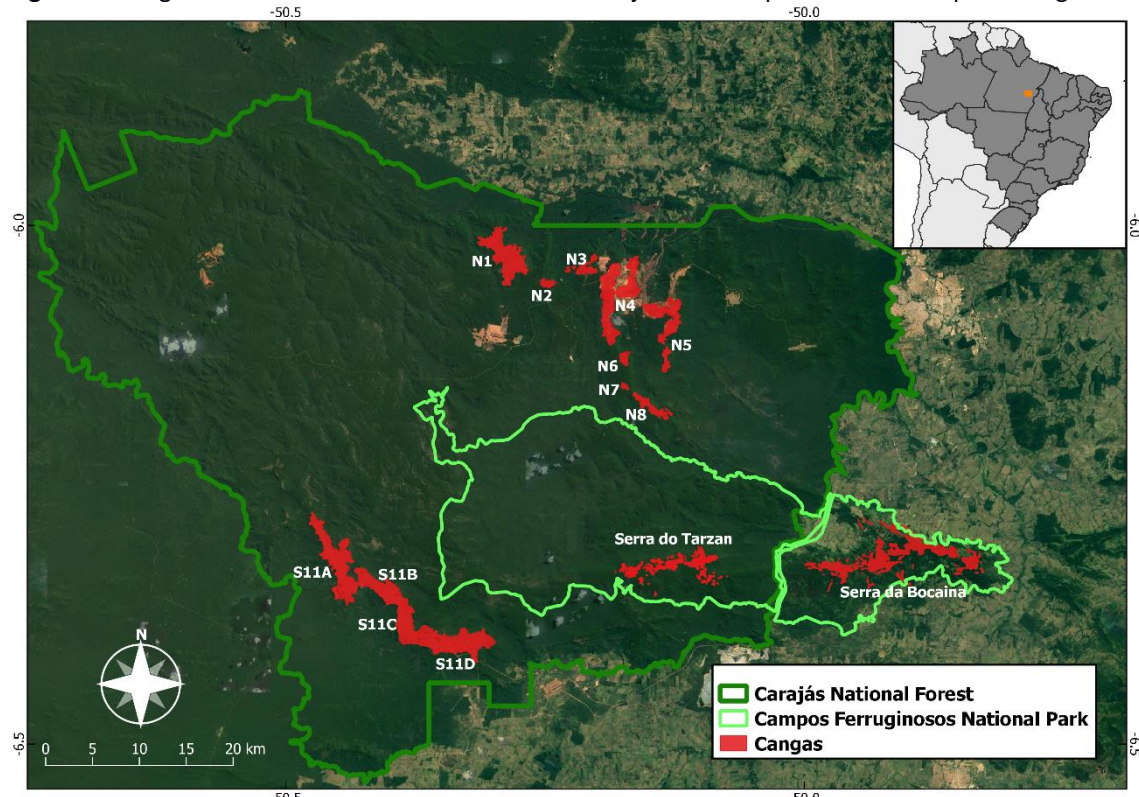
### 2.1 Área de estudo

As cangas cuja flora foi analisada pertencem à Floresta Nacional (FLONA) de Carajás e ao Parque Nacional (PARNA) dos Campos Ferruginosos (referidos como “Carajás” ao longo do texto), localizadas no sudeste do estado do Pará (bioma Amazônico) (Figure 1). Essas áreas de vegetação aberta recebem alta incidência solar, apresentam mais de 2.000 mm de precipitação por ano e possuem uma estação seca pronunciada (Souza-Filho et al. 2016).

### 2.2 Lista de espécies da flora e síndrome de polinização

As espécies de plantas reportadas para as cangas de Carajás foram recentemente compiladas, descritas e publicadas; no total, foram analisadas 856 espécies, o que equivale a 13% da flora do Pará (Mota et al. 2018). Tais espécies foram coletadas em pelo menos uma das onze áreas de canga reportadas nas duas localidades citadas acima, a saber, Serra Sul; Serra da Bocaina; Serra do Tarzan e; cangas da Serra Norte (comumente denominadas de N1, N2, N3, N4, N5, N6, N7 e N8) (Figura 1).

**Figura 1** - Cangas localizadas na Floresta Nacional de Carajás e no Parque Nacional Campos Ferruginosos.



**Fonte:** Próprio autor, (2019).

A síndrome de polinização foi previamente determinada a partir de um grupo de características florais (de acordo com Faegri & van der Pijl 1979, Rosas-Guerrero et al. 2014). Foi possível determinar a síndrome de 771 espécies para as quais havia dados disponíveis (Silva et al. 2018, Pinto et al. in review). Foram analisadas oito síndromes, anteriormente já citadas: melitofilia, falenofilia, psicofilia, cantarofilia, entomofilia, ornitofilia, quiropterofilia e anemofilia.

### **2.3 Ocorrências das espécies de plantas**

Foi organizado um banco de dados de ocorrências de cada espécie da flora das cangas através de pesquisa em 1) bases de dados internas sobre a distribuição das espécies; 2) bases de dados on line que contêm dados de biodiversidade, no caso, especificamente, os portais de dados sobre biodiversidade da rede speciesLink e do Global Biodiversity Information Facility (GBIF; <https://doi.org/10.15468/dl.vytofp>) e; 3) consulta à bibliografia especializada. Foi utilizada a área total conhecida de distribuição de cada espécie para compor os modelos. Subsequentemente à checagem e filtragem de dados imprecisos, o banco de dados final foi utilizado para a modelagem de distribuição (ver abaixo). A maioria das espécies tem ampla distribuição e, apesar de algumas espécies com distribuições restritas terem sido reportadas para Carajás (38 espécies; Giulietti et al. 2019) elas não foram detalhadas aqui, tendo sido alvo de outro estudo específico (Acosta et al. 2019).

Para averiguar se as espécies de canga ocorrem também em áreas de floresta, ou seja, se elas não são especialistas de ambientes de vegetação aberta, as ocorrências utilizadas para a modelagem (ver abaixo) foram sobrepostas em um mapa de uso de terra (ESA Climate Change Initiative - Land Cover led by UCLouvain 2017). Foram calculadas as porcentagens das ocorrências de cada espécie considerando-se as classes analisadas, a saber, floresta, vegetação de área aberta, ambiente urbano e outras classes.

### **2.4 Modelagem de distribuição de espécies**

Foi utilizado o pacote Biomod2 (v.3.3-71, Thuiller 2003) para R (R Development Core Team 2005) para a modelagem de distribuição de espécies (MDE). Foram utilizados

dois algoritmos: Maximum Entropy (MAXENT) (Phillips et al. 2006) e Generalized Linear Model (GLM) (McCullagh e Nelder 1989).

As variáveis ambientais utilizadas na MDE foram selecionadas entre as 20 camadas bioclimáticas menos correlacionadas (Aguirre-Gutierrez 2013) do conjunto disponível no WorldClim (Hijmans et al. 2005), que definem dados médios de temperatura e precipitação para os últimos 50 anos, e altitude. Após seleção, permaneceram as seguintes camadas: Altitude, Mean Diurnal Range, Isothermality, Mean Temperature of Driest Quarter, Annual Precipitation, Precipitation of Driest Month, Precipitation Seasonality, Precipitation of Warmest Quarter, and Precipitation of Coldest Quarter. A qualidade preditiva dos modelos foi avaliada por meio da estatística True Skill Statistics (TSS, Allouche et al. 2006) com limiar de qualidade  $\geq 0,7$ , calculado a partir de séries de particionamentos aleatórios dos dados de entrada em 25% para teste de qualidade e 75% para treinar o modelo, em sucessivas rodadas (validação cruzada).

Os cenários futuros usados para projeção dos modelos se referem às estimativas feitas para duas décadas futuras: 2050 e 2070 (IPCC 2014). Foram utilizados os cenários de emissão denominados “Representative Concentration Pathways” (RCP), os quais foram estimados para dois diferentes níveis de forçantes radioativas (diferença entre a insolação absorvida pela terra, e a energia irradiada de volta ao espaço): 4,5 e 8,5. O primeiro cenário usado (4,5) é considerado mais moderado (perante o de menor concentração, RCP 2.6, dito otimista); já o segundo cenário (8,5) é o mais pessimista (IPCC 2014). Os cenários das projeções utilizadas foram elaborados por dois institutos: Met Office Hadley Centre (HadGEM2-ES, Hadley Global Environment Model 2 - Earth System) e pelo National Center for Atmospheric Research (CCSM4, The Complete Coupled System

Os modelos obtidos pelos dois cenários (HadGEM2-ES e CCSM4), pelos dois algoritmos (Maxent e GLM) e pelas diferentes rodadas foram utilizados para construir o que é chamado de projeção combinada (*Ensemble Forecast Model*), de tal forma a gerar um único modelo final. Esse modelo é ainda mais robusto, pois agrupa as tendências mais importantes do grupo de modelos gerados, com base no método Committee

Averaging (Thuiller et al. 2009), gerando resultados normalizados e equiparáveis entre espécies.

Além do pacote citado acima para o R, foi utilizado o PostgreSQLs/PostGIS (The PostgreSQL Global Development Group) para as bases de dados, o pacote raster (Hijmans e Etten 2012) do R (R Development Core Team 2005), e o QGIS (Open Source Geospatial Foundation Project).

Os modelos finais obtidos foram utilizados para análises de padrões de ocorrência potencial presente e futura, considerando-se as alterações (redução ou ganho) nas áreas adequadas às espécies, bem como as mudanças de localização dessas áreas, da seguinte forma:

- [i] Foram evidenciadas as espécies que, potencialmente, não irão encontrar habitats adequados em Carajás no futuro, considerando-se os cenários de mudança de clima analisados;
- [ii] Foram evidenciadas quais síndromes de polinização serão potencialmente mais afetadas;
- [iii] Os modelos de todas as espécies de plantas foram agrupados, visando determinar as áreas prioritárias de proteção que poderão futuramente atuar como áreas potenciais de refúgio climático para o conjunto total das espécies e para as diferentes interações estabelecidas por estas plantas com seus polinizadores (síndromes de polinização).

Além disso, enfatiza-se que toda a área de distribuição conhecida de cada espécie foi utilizada para gerar cada modelo individualmente, e posteriormente, os modelos foram projetados apenas para o estado do Pará. Tal escolha visou facilitar a tomada de decisão envolvendo a recomendação de áreas prioritárias para proteção, restauração e/ou para compensação, considerando-se as áreas climaticamente mais adequadas hoje e no futuro para proteção das espécies, de acordo com os cenários de mudanças climáticas analisados.

Finalmente, utilizamos uma análise de classificação multinomial (CLAM) que originalmente utiliza abundância relativa de espécies em dois habitats distinguíveis (Chazdon et al. 2011) para entender quais espécies são mais generalistas ou

especialistas considerando-se os modelos presente e o futuro, e todo o estado do Pará. Para tanto, utilizamos a quantidade de pixels estimados nos modelos como ‘presença’ ao invés das abundâncias relativas, e os cenários (atual e futuros) como habitats. A análise considera também, que espécies muito raras não podem ser classificadas e distingue, com base em um limiar de especialização (66%, no nosso caso), as espécies generalistas das que demonstram especificidade para um habitat.

### **3 RESULTADOS**

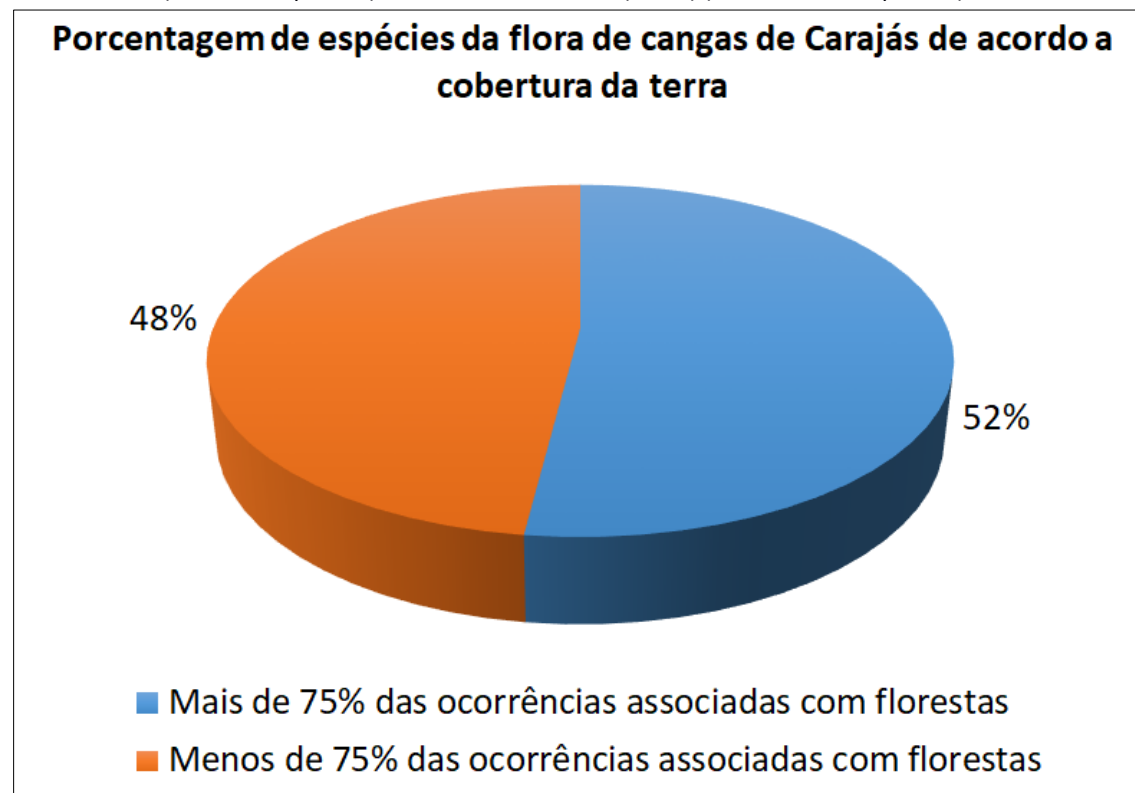
Devido à escassez de registros de ocorrência, nem todas as espécies puderam ser analisadas. Assim, foram obtidos modelos para 608 espécies da flora das cangas de Carajás (Tabela 1 e Anexo), pertencentes a oito síndromes, sendo predominantes as síndromes de melitofilia (abelhas; 53,5%) e anemofilia (vento; 18,4%). Foi obtido um total de 483.633 pontos de ocorrência das espécies analisadas. Quase metade das espécies (52%), considerando-se os pontos de ocorrência obtidos, ocorrem predominantemente em áreas de floresta ( $\geq 75\%$  dos pontos), evidenciando a baixa especificidade de quase a metade das espécies por habitat de área aberta (Figura 2; Anexo).

**Tabela 1** - Número de espécies de plantas das cangas de Carajás modeladas, considerando-se cada síndrome de polinização, e número de espécies que potencialmente, não encontrarão habitats adequados em qualquer dos cenários futuros

Síndrome de polinização	Vetor de polinização	n. de espécies analisadas (% em relação ao total de espécies analisadas [608])	n. de espécies que não encontrarão habitats adequados em qualquer dos cenários futuros (% em relação ao total de cada síndrome)
Melitofilia	Abelha	325 (53,5%)	126 (38,8%)
Anemofilia	Vento	112 (18,4%)	39 (34,8%)
Entomofilia	Insetos (sem identificação)	66 (10,9%)	34 (51,5%)
Ornitofilia	Ave	42 (6,9%)	27 (64,3%)
Falenofilia	Mariposa	26 (4,3%)	13 (50,0%)
Cantarofilia	Besouros	15 (2,5%)	11 (73,3%)
Quiropterofilia	Morcego	12 (2,0%)	5 (41,7%)
Psicofilia	Borboletas	10 (1,6%)	2 (20,0%)
<b>TOTAL</b>		<b>608</b>	<b>257</b>

**Fonte:** Próprio autor, (2019).

**Figura 2** - Porcentagem das espécies cujos pontos de ocorrência estão predominantemente associados com florestas ( $\geq 75\%$  dos pontos) ou com áreas abertas ( $< 75\%$ ) (total = 483.633 pontos).

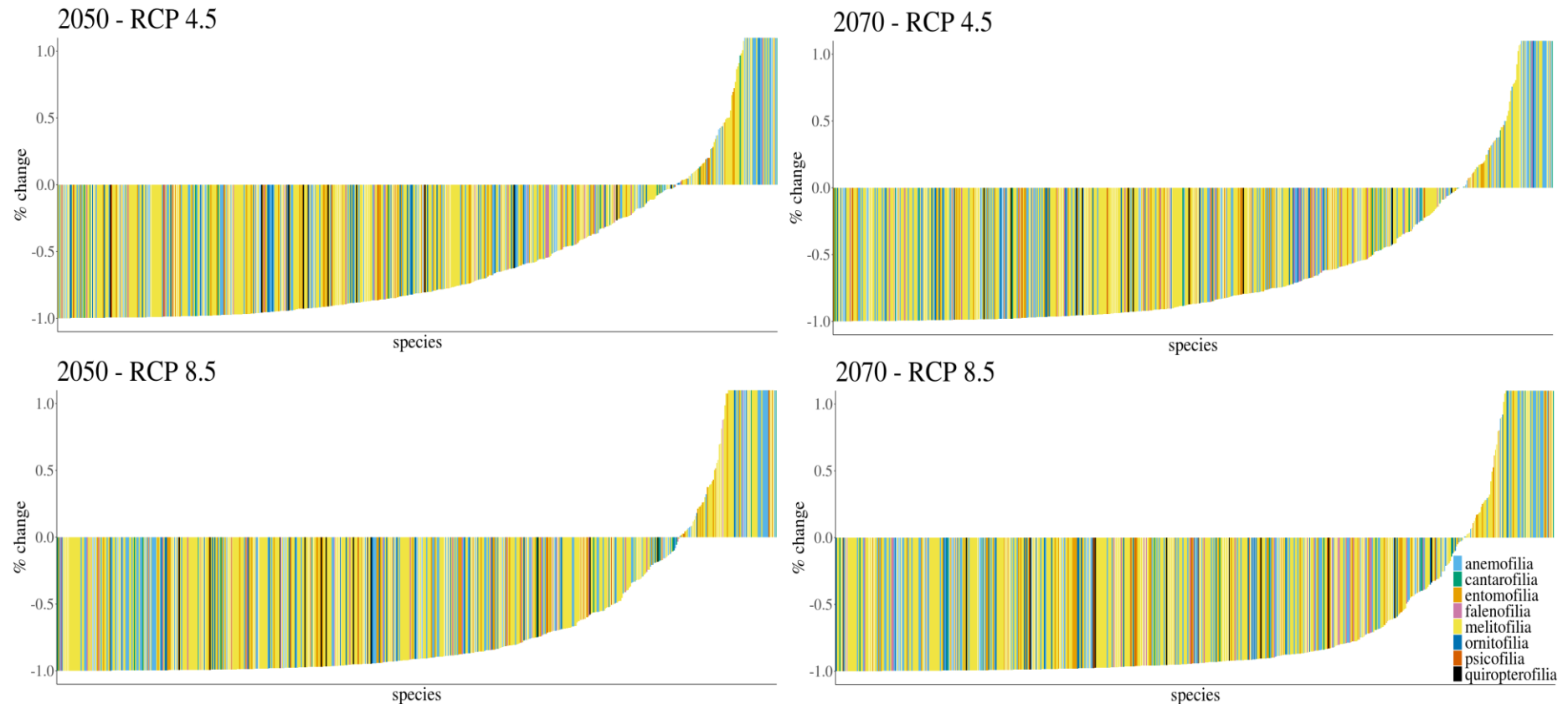


**Fonte:** Próprio autor, (2019).

#### **4.1 Espécies e síndromes mais afetadas**

Os resultados indicam que, no total, 257 espécies de plantas (42%) não encontrarão habitats adequados em Carajás, já que nenhum pixel foi detectado na área de estudo em qualquer dos cenários futuros analisados (células com valor zero no Anexo). Destas, 126 espécies são polinizadas por abelhas (melitofilia); 39 são polinizadas pelo vento (anemofilia); e 34 espécies são polinizadas por outros insetos não definidos (entomofilia) (Tabela 1). Quando se considera o número de espécies de cada síndrome, aquelas que serão potencialmente mais afetadas exibem síndrome do tipo cantarofilia (73% das espécies de plantas que apresentam essa síndrome provavelmente não encontrarão habitats futuros em Carajás), seguida por ornitofilia (64%) e entomofilia (52%) (Tabela 1). Perdas significativas de áreas climaticamente adequadas, para a maioria das espécies, foram detectadas em todos os cenários (Figura 3).

**Figura 3** - Dinâmica de área, em termos de perda-ganho proporcional à área projetada para o presente.

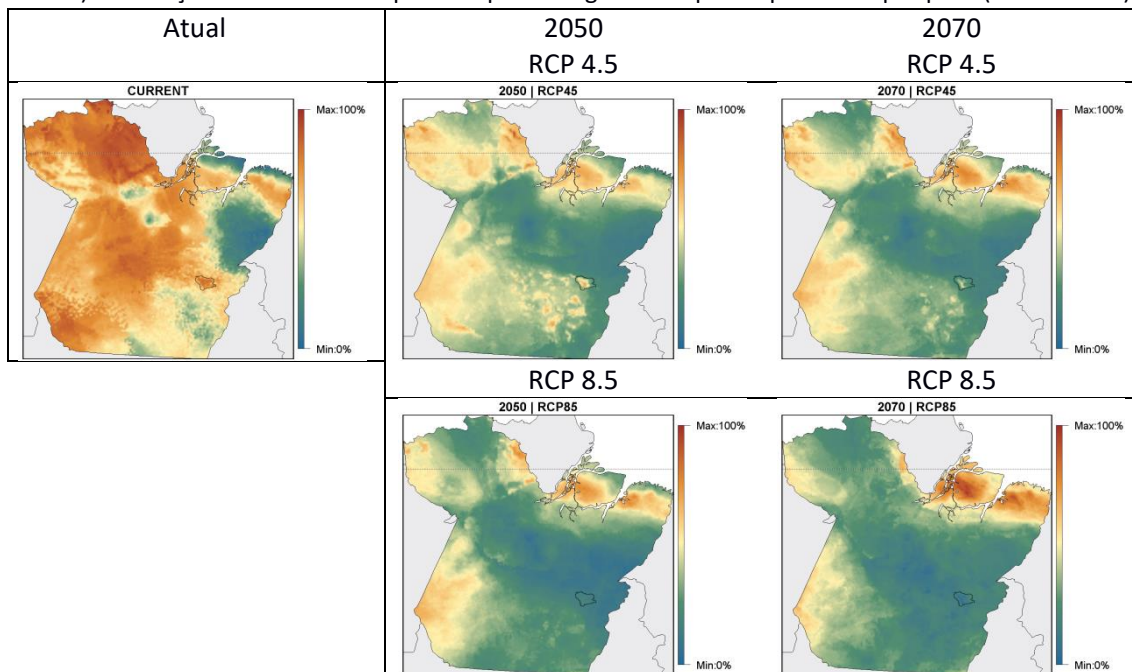


**Fonte:** Próprio autor, (2019).

## 4.2 Áreas de adequabilidade ambiental futura para o conjunto de espécies e para as síndromes

Como esperado, os cenários indicam que estas perdas serão intensificadas com o decorrer tempo (de 2050 para 2070) e dependendo da concentração de gases do efeito estufa (RCP 4.5 para o 8.5). Assim, os modelos finais evidenciam que os cenários de 2050 preveem um impacto menos acentuado sobre as espécies do que os de 2070 (Figura 4), antecipando menores perdas potenciais de áreas adequadas; o mesmo se aplica em relação ao RCP4,5 (impacto menos acentuado) e 8,5 (mais acentuado).

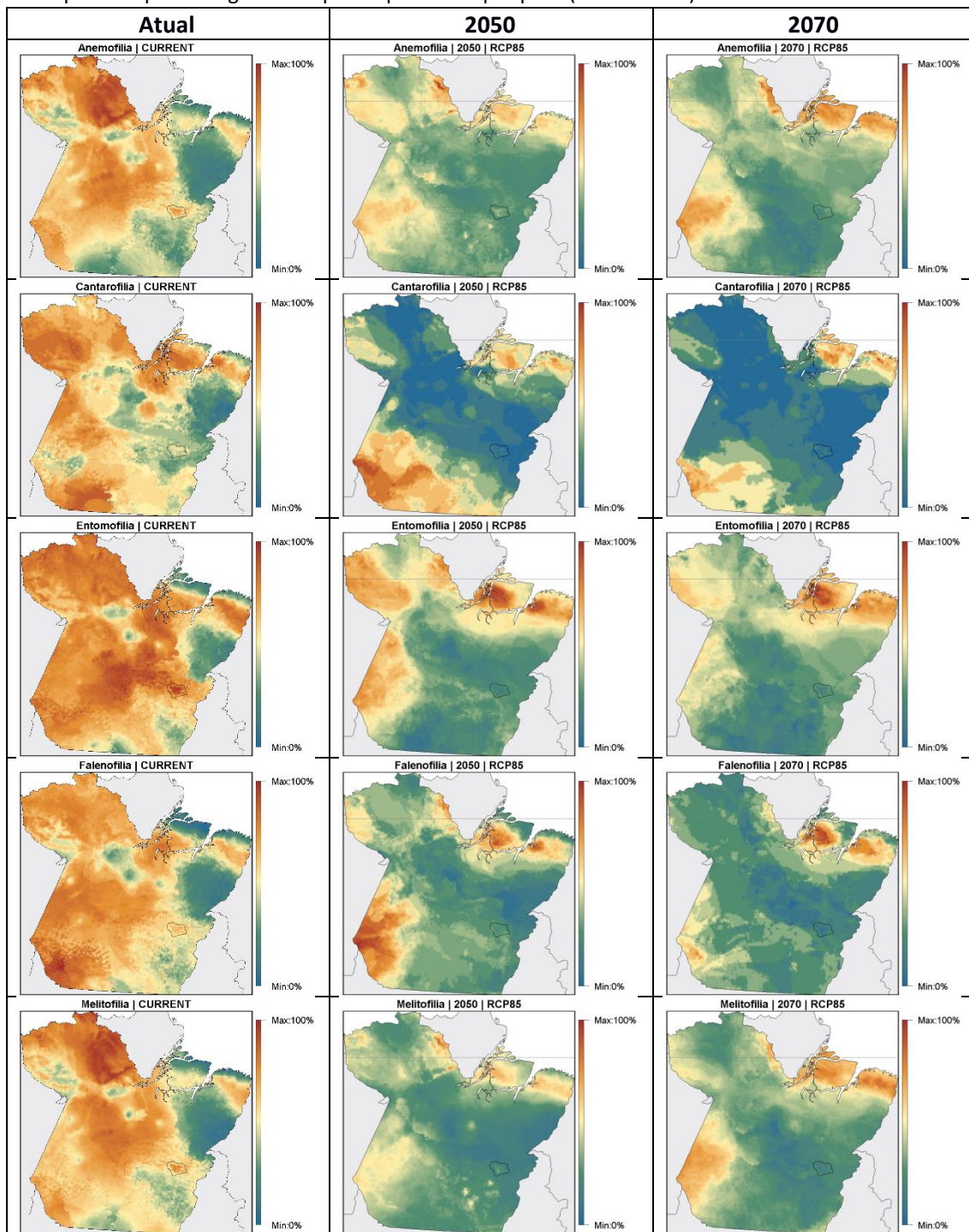
**Figura 4** - Impacto da mudança climática considerando-se todas as espécies da flora das cangas da Floresta Nacional de Carajás e do Parque Nacional dos Campos Ferruginosos (polígono em preto no sudoeste do estado). A variação da escala corresponde a porcentagem de espécies presentes por pixel (Máx = 100%).

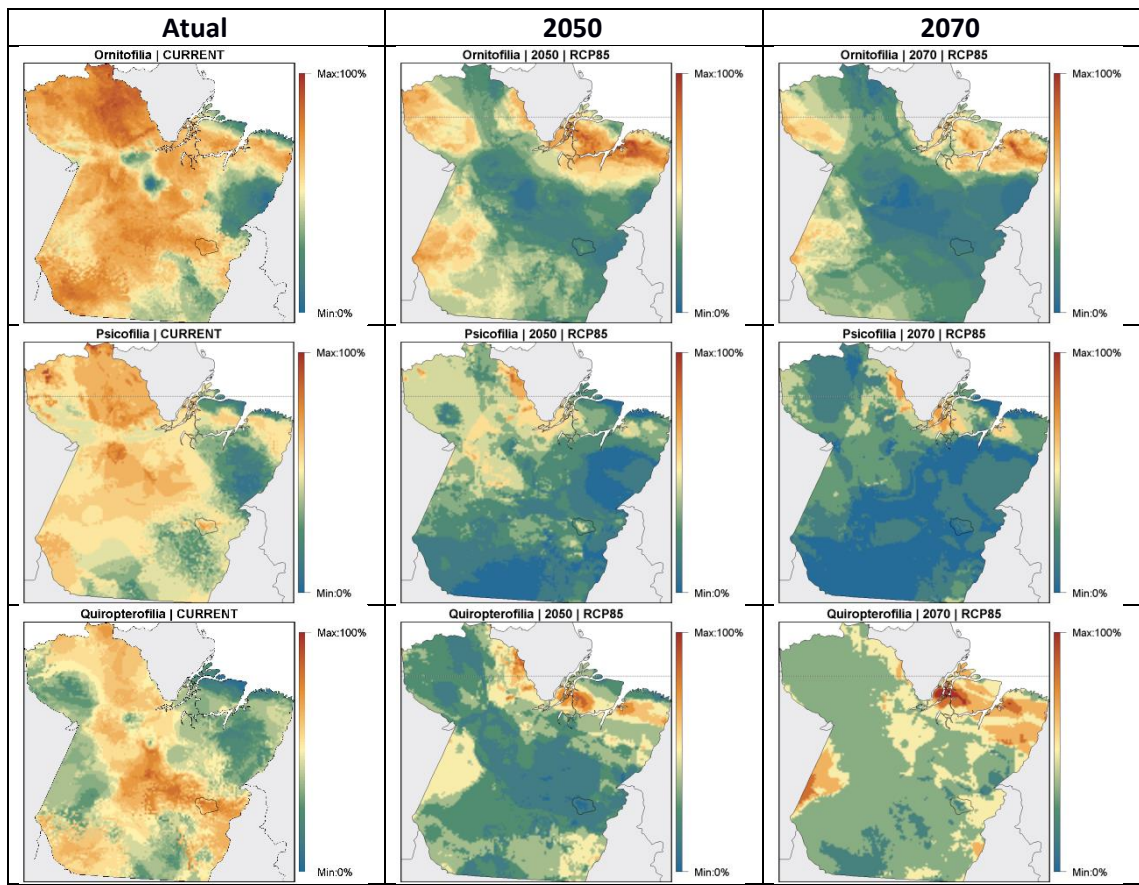


**Fonte:** Próprio autor, (2019).

Considerando-se os modelos oriundos do cenário RCP 4,5, observa-se que as áreas ao norte, oeste e sul serão potencialmente adequadas à distribuição das espécies da flora nas duas décadas futuras (2050 e 2070) (Figura 4). Já em relação ao RCP 8,5, observa-se que grande parte da região noroeste e sudeste do estado potencialmente não apresentará habitats adequados para as espécies (incluindo Carajás), indicando que as áreas prioritárias estarão localizadas no nordeste e sudoeste do estado. Essas áreas foram também evidenciadas para a maioria das síndromes (ver abaixo; Figura 5), consistindo assim, em áreas particularmente importantes para a proteção das espécies.

**Figura 5** - Impacto potencial da mudança climática sobre as plantas das cangas da Floresta Nacional de Carajás e do Parque Nacional dos Campos Ferruginosos (polígono em preto no sudoeste do estado), considerando-se suas síndromes de polinização para 2050 e 2070 e o RCP 8,5. A variação da escala corresponde a porcentagem de espécies presentes por pixel (Máx = 100%).





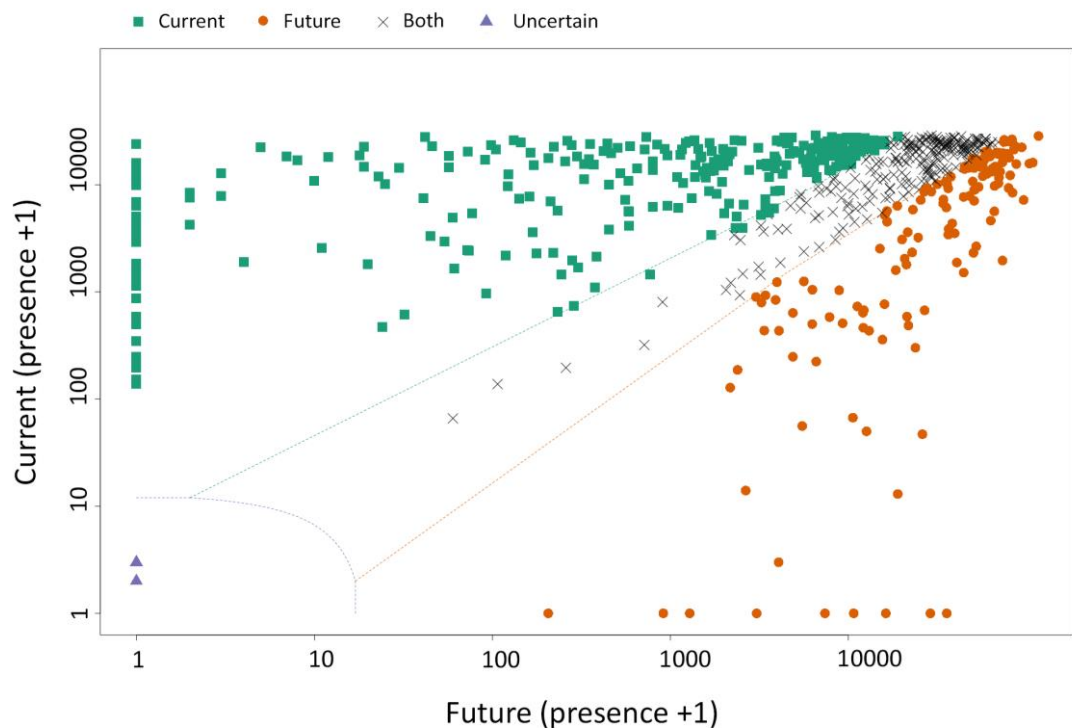
Fonte: Próprio autor, (2019).

O mesmo padrão descrito acima foi encontrado para cada uma das síndromes, onde os cenários de 2050 preveem um impacto menos acentuado sobre as espécies do que os de 2070 (Figura 5). No entanto, algumas diferenças podem ser observadas no que diz respeito aos padrões de distribuição futura (Figura 5). As espécies que apresentam síndrome de polinização do tipo entomofilia, melitofilia e anemofilia apresentam áreas potenciais de ocorrência futura especialmente nas regiões norte e oeste do estado do Pará. Já as síndromes cantarofilia e psicofilia apresentam estas áreas futuras no norte e sul do estado; falenofilia e ornitofilia no norte, oeste e sudoeste do estado do Pará; e quiropteroftilia, no norte-nordeste. Poucas áreas apresentam máximo valor de riqueza nos cenários futuros (áreas em vermelho na Figura 5), sendo que para 2070, a maioria delas ocorre na porção norte-nordeste do estado.

No total, e considerando-se todo o estado do Pará, 284 (44%) espécies foram classificadas como especialistas do cenário presente, e 219 foram classificadas como generalistas. No caso do presente estudo, as generalistas podem ser interpretadas como

espécies que encontrariam igual adequabilidade de habitat em qualquer cenário climático, seja presente ou futuro (Figura 6, Anexo).

**Figura 6** - Análise de classificação multinomial (CLAM) das espécies de plantas das cangas de Carajás, de acordo com a quantidade de pixels projetados como presença: preferindo o cenário atual (quadrados verdes); preferindo os cenários futuros (círculos laranjas); generalistas, presentes em ambos os cenários (atual e futuro; cruz pretas); e baixa frequência para ser atribuído preferência (triângulos azuis). A lista de espécies pode ser encontrada no Anexo.



**Fonte:** Próprio autor, (2019).

## 5 DISCUSSÃO

De acordo com os cenários utilizados, de 608 espécies da flora das cangas de Carajás analisadas, a maioria delas terá redução das áreas climaticamente adequadas a suas ocorrências. Além disso, 257 (42%) poderão não ocorrer em Carajás nos cenários futuros, pois potencialmente, não haverá área climaticamente adequada para as espécies devido às mudanças climáticas. Em números absolutos, a síndrome de melitofilia será potencialmente a mais afetada; já em números relativos, será a cantarofilia. Quando o conjunto de espécies é analisado, as áreas de maior adequabilidade potencial no futuro ocorrem no norte e oeste do estado do Pará. Quando se observam as síndromes separadamente, as áreas norte e nordeste são e permanecerão adequadas à maioria das espécies; já as áreas à oeste apresentam maior variação.

Pelo fato de metade das espécies analisadas ocorrerem em habitats diferentes, esperava-se que a maioria delas não fosse fortemente afetada pelas mudanças climáticas projetadas para a região. Contudo, no conjunto, independentemente da síndrome de polinização, as projeções apontam para uma drástica redução da riqueza de espécies, principalmente na porção centro-sudeste do estado, onde Carajás está localizada. Alguns estudos anteriores apontam para um processo de alteração radical do Bioma Amazônico, principalmente da porção sul-sudeste, caso não haja uma política de controle do aquecimento global e da perda de habitats florestais devido ao desmatamento (Nobre & Borma 2009). O desmatamento intensifica os padrões globais de mudanças climáticas, podendo gerar variações adicionais e localizadas na temperatura e precipitação, criando um impacto ainda maior sobre a biodiversidade (Barkhordarian et al. 2019). De fato, um aumento local suplementar de 1°C e uma redução de 0,8mm/dia foi citado como consequência de desmatamento na Amazônia (Pitman & Lorenz 2016). Por outro lado, a lista de espécies potencialmente mais resistentes às mudanças climáticas apresentada no presente trabalho, é útil para indicar plantas que podem ser utilizadas em projetos de restauração de áreas degradadas na região, o que pode aumentar o sucesso a médio-longo prazo dessas estratégias (Harris et al. 2006). Pode também auxiliar na escolha de espécies que possam prover recursos para diferentes grupos da fauna, o que auxiliaria a restauração das interações e funções do ecossistema. Tais atributos, além de outros critérios relevantes já apontados (Giannini et al. 2017), podem ajudar na seleção de espécies prioritárias para restauração de ambientes no sudeste da Amazônia.

As projeções também apontam que, no conjunto, as áreas a oeste (com alguma variação, dependendo da síndrome de polinização) e norte-nordeste do estado são potencialmente mais estáveis, e poderão atuar como refúgios climáticos. Tais áreas apresentam alta probabilidade de conter habitats adequados em cenários futuros para uma grande parte das espécies estudadas. De forma convergente, as mesmas áreas aqui apontadas também aparecem na literatura como refúgios para morcegos (Costa et al. 2018), aves (Miranda et al. 2019) e abelhas (Giannini et al. in press). Vale destacar que essas duas áreas são notavelmente diferentes entre si em termos de cobertura da vegetação e quantidade de áreas protegidas: o oeste do estado do Pará é uma área

relativamente bem preservada com muitas áreas protegidas (Unidades de Conservação e Terras Indígenas); contrariamente, o norte-nordeste do estado é uma das regiões mais degradadas, contendo, atualmente, menos de 25% da cobertura original (Almeida e Vieira 2010). Ademais, essas últimas regiões estão localizadas no litoral norte do Brasil, e cenários indicam que poderão ser afetadas pelo aumento do nível do mar em decorrência do aquecimento global. Ainda não há uma projeção específica para a região, mas cenários globais do IPCC mostram que essas áreas podem ser atingidas pela subida do oceano em até 0.8m (Church et al. 2013).

É importante ressaltar que nossos resultados se restringem às áreas com alta probabilidade de haver habitats adequados para essas espécies a partir do conjunto de variáveis bioclimáticas selecionadas, o que delimita a nicho fundamental das espécies. Porém, de acordo com as teorias de nicho ecológico, a real distribuição de uma espécie é também influenciada por outros fatores ambientais, biológicos e evolutivos. As interações ecológicas (mutualismos, competição, predação), a capacidade da espécie de alcançar o local (ou seja, mobilidade e dispersão), e a capacidade de adaptação evolutiva (Soberon & Peterson 2005) são igualmente importantes. Para Carajás, estudos previamente citados neste trabalho apontam perdas de espécies de morcegos nectaríferos (polinizadores) na ordem de 66% (Costa et al. 2019), de aves nectaríferas da ordem de 60% (Miranda et al. 2019) e de abelhas, na ordem de 95% (Giannini et al. in press). Em especial, esse último trabalho torna os resultados sobre o impacto na melitofilia, obtidos no presente trabalho, ainda mais preocupantes, já que indica alto impacto para as abelhas. Portanto, nossas previsões podem estar subestimadas já que esses aspectos não foram diretamente incluídos nos modelos. Ademais, dados de interação são ainda escassos, o que dificulta uma análise mais pormenorizada. Por exemplo, interações com abelhas das espécies da canga já foram avaliadas (Pinto et al. in review), mas não há ainda informação sobre interações com outros grupos de animais. O déficit global de informação sobre interações já foi enfatizado previamente (Hortal et al. 2015), apesar de esse dado ser de extrema importância. Mesmo considerando-se a Amazônia brasileira, poucos trabalhos avaliaram interações, enfatizando espécies vegetais de interesse econômico polinizadas abelhas (Beyerlein et al. 2019, Cavalcante et al. 2018, Krug et al. 2018) ou por sistemas complexos envolvendo

múltiplos tipos de insetos (Campbell et al. 2018, Dattilo et al. 2012). Um pequeno número adicional de dados está disponível sobre interações entre plantas e polinizadores na região, envolvendo abelhas (Milet-Pinheiro et al. 2018, Oliveira et al. 2017, Ferreira and Absy, 2017, Novais and Absy 2013, Moura et al. 2011), besouros (Gottsberger and Webber 2018, Seymour and Matthews 2006), mariposas (Cruz-Neto et al. 2011), vespas (Nazareno et al. 2007), aves (Vicentini and Fischer 1999), e morcegos (Gribel et al. 1999). Nenhum desses trabalhos analisou o impacto potencial das mudanças climáticas nessas interações.

O uso de síndrome de polinização para entender padrões de interação planta-polinizador é especialmente indicado nos casos onde há alta diversidade e grande lacuna de informação sobre biologia reprodutiva das espécies, já que a determinação dos polinizadores efetivos é um processo custoso e demorado. Porém, casos especiais podem ser mais bem definidos com estudos clássicos de biologia floral e reprodutiva. Ademais, cenários de impacto de mudanças climáticas sobre a biodiversidade deveriam idealmente considerar a habilidade das espécies em se adaptarem às mudanças em curso, o que poderia afetar os resultados da modelagem de dados. Além disso, trabalhos que têm avaliado o efeito dessas mudanças sobre as espécies têm mostrado que a capacidade de dispersão para outros ambientes adequados é importante (Chen et al. 2011). Considerando-se os resultados obtidos, é de extrema importância a adoção de estratégias eficientes de proteção dessa biodiversidade. Por exemplo, a preservação e conexão dos habitats naturais onde essas espécies ocorrem hoje e no futuro, e/ou a restauração de áreas degradadas, são estratégias que podem atenuar os efeitos das mudanças de clima, pois auxiliam na sobrevivência e movimentação das espécies (Millar et al. 2007). Desenhar corredores ecológicos, que promovam a conexão dos habitats, pode facilitar a movimentação das espécies em busca por habitats adequados, o que constitui no próximo passo da atual pesquisa. Além disso, para alguns casos, estratégias de translocação e conservação *ex situ* podem ser consideradas (Vitt et al. 2010). Assim, próximos passos poderiam analisar a capacidade de adaptação fisiológica dessas espécies a estresse térmico e hídrico, e também analisar as áreas mais propícias para a dispersão em busca de habitats climaticamente adequados, utilizando-se de estudos de

ecologia de paisagem e de conectividade de habitat, através de corredores ecológicos (por ex., Giannini et al. 2015).

Demonstramos aqui que a Floresta Nacional de Carajás, no sudeste do Pará, poderá enfrentar perdas importantes de espécies da flora que proveem recursos para diferentes grupos de animais. Ainda há grande lacuna de informação sobre interações entre plantas e polinizadores para florestas tropicais, e esse é um dado importante já que tem implicação direta no sucesso reprodutivo das espécies da flora. A perda de interação implica em uma ameaça suplementar às espécies, considerando os efeitos combinados das mudanças globais de clima e uso da terra. Trabalhos mais detalhados sobre biologia floral e sobre a adaptação das espécies às mudanças correntes são importantes, bem como, a proteção de áreas potencialmente adequadas para as espécies e dos corredores ecológicos que auxiliam no acesso a essas áreas. Tais iniciativas podem auxiliar a conservação e proteção das espécies da flora das cangas de Carajás a enfrentar os impactos das mudanças de clima.

## REFERÊNCIAS

- ACOSTA, A. L. *et al.* Cenários de mudanças climáticas e seus efeitos na flora endêmica das cangas de Carajás. **Relatório Técnico PROD. TEC. ITV DS - N004/2019.** DOI 10.29223/PROD.TEC.ITV.DS.2019.4.Acosta. 2019.
- AGUIRRE-GUTIÉRREZ, J. *et al.* Fit-for-Purpose: species distribution model performance depends on evaluation criteria - Dutch hoverflies as a case study. **PLoS ONE**, v. 8, n. 5, p. e63708. 2013.
- AHUJA, I. *et al.* Plant molecular stress responses face climate change. **Trends in Plant Science**, v. 15, p. 664-674. 2010.
- ALLOUCHE, O.; TSOAR, A.; KADMON, R. Assessing the accuracy of species distribution models: prevalence, kappa and the true skill statistic (TSS). **Journal of Applied Ecology**, v. 43, p. 1223-1232. 2006.
- ALMEIDA, S. A.; VIEIRA, I. C. G. Centro de Endemismo Belém: Status da Vegetação Remanescente e Desafios para a Conservação Biológica e Restauração Ecológica. **Revista de Estudos Universitários**, v. 36, p. 95-111. 2010.
- BARKHORDARIAN, A. *et al.* A recent systematic increase in vapor pressure deficit over Tropical South America. **Scientific Reports**, v. 9, 15331. 2019.
- BARTOMEUS, I. *et al.* Historical changes in northeastern US bee pollinators related to shared ecological traits. **PNAS**, v. 110, p. 4656-4660. 2013.
- BERTRAND, R. *et al.* Changes in plant community composition lag behind climate warming in lowland forests. **Nature**, v. 479, p. 517–520. 2011.
- BEYERLEIN, P.; MENDES, A. M. S.; PEREIRA, H. S. Floral phenology, seed germination and hybrid plants of the Amerindian yam (*Dioscorea trifida*). **Acta Amazonica**, v. 49, p. 167-172. 2019.
- BIESMEIJER, J. C. *et al.* Parallel declines in pollinators and insect-pollinated plants in Britain and the Netherlands. **Science**, v. 313, p. 351-354. 2006.
- BUCHMANN, S. L.; NABHAN, G. P. **The Forgotten Pollinators.** [S.l.]: Island Press, 1997.
- CAMPBELL, A. J. *et al.* Anthropogenic disturbance of tropical forests threatens pollination services to açaí palm in the Amazon river delta. **Journal of Applied Ecology**, v. 55, p. 1725–1736. 2018.
- CARSON, R. **Silent Spring.** Boston: Houghton Mifflin, 1962.

CAVALCANTE, M. C. *et al.* Nectar production dynamics and daily pattern of pollinator visits in Brazil nut (*Bertholletia excelsa* Bonpl.) plantations in Central Amazon: implications for fruit production. **Apidologie**, v. 49, p. 505-516. 2018.

CHAZDON, R. L. *et al.* A novel statistical method for classifying habitat generalists and specialists. **Eology**, v. 92, p. 1332-1343. 2011.

CHEN, I. *et al.* Rapid range shifts of species associated with high levels of climate warming. **Science**, v. 333, p. 1024–1026. 2011.

CHRISTENSEN, J. H. *et al.* Regional Climate Projections. In: **Climate Change 2007: The Physical Science Basis**. Contribution of Working Group I to the Fourth Assessment Report of the Intergovernmental Panel on Climate. Cambridge University Press, Cambridge, UK and New York, USA. 2007.

CHURCH, J. A. *et al.* Sea Level Change. In: **Climate Change 2013: The Physical Science Basis**. Contribution of Working Group I to the Fifth Assessment Report of the Intergovernmental Panel on Climate Change. Cambridge University Press, Cambridge, United Kingdom and New York, NY, USA. 2013.

CLELAND, E.E. *et al.* Shifting plant phenology in response to global change. **TREE** v. 22, p. 357-365, 2007.

COLWELL, R. K. *et al.* Global warming, elevational range shifts, and lowland biotic attrition in the wet tropics. **Science**, v. 322, p. 258–261. 2008.

CORLETT, R. T.; LAFRANKIE JÚNIOR, J. V. Potential impacts of climate change on Tropical Asian Forests through an influence on phenology. **Climatic Change**, v. 39, p. 439–453. 1998.

CORLETT, R. T.; WESTCOTT, D. A. Will plant movements keep up with climate change? **TREE**, v. 28, p. 482-488. 2013.

COSTA, W. F. *et al.* Bat diversity in Carajás National Forest (Eastern Amazon) and potential impacts on ecosystem services under climate change. **Biological Conservation**, v. 218, p. 200–210. 2018.

COSTION, C. M. *et al.* Will tropical mountaintop plant species survive climate change? Identifying key knowledge gaps using species distribution modelling in Australia. **Biological Conservation**, v. 191, p. 322–330. 2015.

CRUZ-NETO, O. *et al.* Synchronous phenology of hawkmoths (Sphingidae) and Inga species (Fabaceae-Mimosoideae): implications for the restoration of the Atlantic forest of northeastern Brazil. **Biodiversity and Conservation**, v. 20, p. 751-765. 2011.

DATTILO, W. *et al.* Floral resource partitioning by ants and bees in a jamblan Syzygium jambolanum (Myrtaceae) agroforestry system in Brazilian Meridional Amazon. **Agroforestry Systems**, v. 85, p. 105-111. 2012.

DÍAZ, S. *et al.* Functional traits, the phylogeny of function, and ecosystem service vulnerability. **Ecology and Evolution**, v. 3, p. 2958-2975. 2013.

ESQUIVEL-MUELBERT, A. *et al.* Compositional response of Amazon forests to climate change. **Global Change Biology**, v. 25, p. 1-19. 2018.

FAEGRI, K.; VAN DER PIJL, L. **Principles of Pollination Ecology**. Oxford: Pergamon, 1979.

FEI, S. *et al.* Divergence of species responses to climate change. **Science Advances**, v. 3, p. e1603055. 2017.

FENSTER, C .B. *et al.* Pollination syndromes and floral specialization. **Annual Review of Ecology, Evolution and Systematics**, v. 35, p. 375–403. 2004.

FERREIRA, M. G.; ABSY, M. L. Pollen analysis of honeys of Melipona (Michelia) seminigra merrillae and Melipona (Melikerria) interrupta (Hymenoptera: Apidae) bred in Central Amazon, Brazil. **Grana**, v. 56, p. 436-449. 2017.

GIANNINI, T. C. *et al.* Safeguarding ecosystem services: a methodological framework to buffer the joint effect of habitat configuration and climate change. **PLoS ONE**, v. 10, p. e0129225. 2015.

GIANNINI, T. C. *et al.* Selecting plant species for practical restoration of degraded lands using a multiple-trait approach. **Austral Ecology**, v. 42, p. 510-521. 2017.

GIANNINI, T. C. *et al.* Climate change in the Eastern Amazon: crop-pollinator and occurrence-restricted bees are potentially more affected. **Regional Environmental Change**. (in press).

GIRÃO, L. C. *et al.* Changes in tree reproductive traits reduce functional diversity in a fragmented Atlantic Forest landscape. **PLoS One**, v. 2, e908. 2007.

GIULIETTI, A. M. *et al.* Edaphic endemism in the Amazon: Vascular Plants of the canga of Carajás, Brazil. **The Botanical Review**, v. 24, p. 357–383. 2019.

GOTTSBERGER, G.; WEBBER, A.C. Nutritious tissue in petals of Annonaceae and its function in pollination by scarab beetles. **Acta Botanica Brasilica**, v. 32, p. 279-286. 2018.

GRIBEL, R.; GIBBS, P. E.; QUEIROZ, A. L. Flowering phenology and pollination biology of *Ceiba pentandra* (Bombacaceae) in Central Amazonia. **Journal of Tropical Ecology**, v. 15, p. 247–263. 1999.

HARRIS, J. A. *et al.* Ecological restoration and global climate change. **Restoration Ecology**, v. 14, p. 170–176. 2006.

HIJMANS, R. J. *et al.* Very high resolution interpolated climate surfaces for global land areas. **International Journal of Climatology**, v. 25, p. 1965–1978. 2005.

HORTAL, J. *et al.* Seven shortfalls that beset large-scale knowledge of biodiversity. **Annual Review of Ecology, Evolution, and Systematics**, v. 46, p. 523–549. 2015.

IPCC. **Climate Change 2014**: Synthesis Report. Contribution of Working Groups I, II and III to the Fifth Assessment Report of the Intergovernmental Panel on Climate Change. Geneva, CH. 2014.

KELLY, A. E.; GOULDEN, M. L. Rapid shifts in plant distribution with recent climate change. **PNAS**, v. 105, p. 11823–11826. 2008.

KISSLING, W. D. *et al.* Building essential biodiversity variables (EBVs) of species distribution and abundance at a global scale. **Biological Reviews**, v. 93, p. 600–625. 2018.

KRUG, C. *et al.* Nocturnal bee pollinators are attracted to guarana flowers by their scents. **Frontiers in Plant Science**, 2018. DOI 10.3389/fpls.2018.01072.

LENOIR, J. *et al.* Significant upward shift in plant species optimum elevation during the 20th Century. **Science**, v. 320, p. 1768–1771. 2008.

MARENGO, J. A. *et al.* Future change of temperature and precipitation extremes in South America as derived from the PRECIS regional climate modeling system. **International Journal of Climatology**, v. 29, p. 2241–2255. 2009.

MCCULLAGH, P.; NELDER, J. A. **Generalized Linear Models**. Chapman, Hall. 1989.

MILET-PINHEIRO, P. *et al.* Notes on pollination ecology and floral scent chemistry of the rare neotropical orchid *Catasetum galeritum* Rchb.f. **Plant Species Biology**, v. 33, p. 158–163. 2018.

MILLAR, C. I.; STEPHENSON, N. L.; STEPHENS, S. L. Climate change and forest of the future: Managing in the face of uncertainty. **Ecological Applications**, v. 17, p. 2145–2151. 2007.

MIRANDA, L. S.; IMPERATRIZ-FONSECA, V. L.; GIANNINI, T. C. Climate change impact on ecosystem functions provided by birds in southeastern Amazonia. **PLoS ONE**, v. 14, e0215229. 2019.

MOTA, N. F. O. *et al.* Amazon canga: the unique vegetation of Carajás revealed by the list of seed plants. **Rodriguesia**, v. 69, p. 1435-1488. 2018.

MOURA, T. N.; WEBBER, A. C.; MELO-TORRES, L. N. Floral biology and a pollinator effectiveness test of the diurnal floral visitors of *Tabernaemontana undulata* Vahl. (Apocynaceae) in the understory of Amazon Rainforest, Brazil. **Acta Botanica Brasilica**, v. 25, p. 380-386. 2011.

NAZARENO, A. G.; SILVA, R. B. Q.; PEREIRA, R. A. S. Fauna of hymenoptera in *Ficus* spp. (Moraceae) in the Central Amazon, Brazil. **Heringia**, v. 97, p. 441-446. 2007.

NOBRE, C. A.; BORMA, L. D. S. “Tipping points” for the Amazon forest. **Current Opinion in Environmental Sustainability**, v. 1, p. 28–36. 2009.

NOVAIS, J. S.; ABSY, M. L. Palynological examination of the pollen pots of native stingless bees from the Lower Amazon region in Para, Brazil. **Palynology**, v. 37, p. 218-230. 2013.

OLIVEIRA, P. E. *et al.* Differential pollination modes between distant populations of *Unonopsis guatterioides* (Annonaceae) in Minas Gerais and Amazonas, Brazil. **Flora** v. 232, p. 39-46. 2017.

OLLERTON, J.; WINFREE, R.; TARRANT, S. How many flowering plants are pollinated by animals? **Oikos**, v. 120, p. 321-326. 2011.

PACIFICI, M. *et al.* Assessing species vulnerability to climate change. **Nature Climate Change**, v. 5, p. 215–225. 2015.

PHILLIPS, S. B. *et al.* Modelling and analysis of the atmospheric nitrogen deposition in North Carolina. **International Journal of Global Environmental Issues**, v. 6, p. 231–252. 2006.

PINTO, C. E. *et al.* Size and isolation of naturally isolated habitats do not affect plant-pollinator interactions: a case study of the ferruginous outcrops inside the eastern Amazon forest. **PlosOne**. (in review).

PITMAN, A. J.; LORENZ, R. Scale dependence of the simulated impact of Amazonian deforestation on regional climate. **Environmental Research Letter**, v. 11, 094025. 2016.

POLCE, C. *et al.* Climate-driven spatial mismatches between British orchards and their pollinators: increased risks of pollination deficits. **Global Change Biology**, v. 20, p. 2815-2828. 2014.

POTTS, S. G. *et al.* Safeguarding pollinators and their values to human well-being. **Nature**, v. 540, p. 220–229. 2016.

PYKE, A. G. H. *et al.* Effects of climate change on phenologies and distributions of bumble bees and the plants they visit. **Ecosphere**, v. 7, ea1267. 2016.

RAFFERTY, N. E. Effects of global change on insect pollinators: multiple drivers lead to novel communities. **Current Opinion in Insect Science**, v. 23, p. 22–27. 2017.

ROSAS-GUERRERO, V. *et al.* A quantitative review of pollination syndromes: Do floral traits predict effective pollinators? **Ecology Letters**, v. 17, p. 388–400. 2014.

SCHWEIGER, O. *et al.* Climate change can cause spatial mismatch of trophically interacting species. **Ecology**, v. 89, p. 3472-3479. 2008.

SEYMOUR, R. S.; MATTHEWS, P. G. D. The role of thermogenesis in the pollination biology of the Amazon waterlily Victoria amazonica. **Annals of Botany**, v. 98, p. 1129-1135. 2006.

SILVA, C. E. P. *et al.* Sistemas de polinização nas cangas de Carajás. **Relatório Técnico PROD.TEC.ITV.DS** - N0013/2018. Belém, ITV: 2018. DOI 10.29223/PROD.TEC.ITV.DS.2018.13.Silva.

SOBERÓN, J.; PETERSON, A. T. Interpretation of models of fundamental ecological niches and species' distributional areas. **Biodiversity Informatics**, v. 2, p. 1-10. 2005.

SOUZA-FILHO, P. W. M. *et al.* Four decades of land-cover, land-use and hydroclimatology changes in the Itacaiúnas River watershed, southeastern Amazon. **Journal of Environmental Management**, v. 167, p. 175–184. 2016.

SOUZA-FILHO, P. W. M. i Mapping and quantification of ferruginous outcrop savannas in the Brazilian Amazon: A challenge for biodiversity conservation. **PLoS ONE**, v. 14, p. e0211095. 2019.

STANG, M.; KLINKHAMER, P. G. L.; VAN DER MEIJDEN, E. Size constraints and flower abundance determine the number of interactions in a plant-flower visitor web. **Oikos**, v. 112, p. 111–121. 2006.

STANG, M.; KLINKHAMER, P. G. L.; VAN DER MEIJDEN, E. Asymmetric specialization and extinction risk in plant-flower visitor webs: a matter of morphology or abundance? **Oecologia**, v. 151, p. 442–453. 2007.

STEINBAUER, M. J. *et al.* Accelerated increase in plant species richness on mountain summits is linked to warming. **Nature**, v. 256, p. 231-234. 2018.

THUILLER, W. BIOMOD - Optimizing predictions of species distributions and projecting potential future shifts under global change. **Global Change Biology**, v. 9, p. 1353–1362. 2003.

THUILLER, W. *et al.* BIOMOD – a platform for ensemble forecasting of species distributions. **Ecography**, v. 32, p. 369-373. 2009.

VANBERGEN, A. J.; Insect Pollinators Initiative. Threats to an ecosystem service: pressures on pollinators. **Frontiers in Ecology and the Environment**, v. 11, p. 251-259. 2013.

VENTER, O. *et al.* Sixteen years of change in the global terrestrial human footprint and implications for biodiversity conservation. **Nature Communications**, v. 7, p. 1-11. 2016.

VICENTINI, A.; FISCHER, E. A. Pollination of *Moronobea coccinea* (Clusiaceae) by the golden-winged parakeet in the central Amazon. **Biotropica**, v. 31, p. 692-696. 1999.

VITT, P. *et al.* Assisted migration of plants: Changes in latitudes, changes in attitudes. **Biological Conservation**, v. 143, p. 18-27. 2010.

WOOD, T. J. *et al.* Limited phenological and dietary overlap between bee communities in spring flowering crops and herbaceous enhancements. **Ecological Applications**, v. 28, p. 1924–1934. 2018.

## **ANEXOS**

## ANEXO A - Metadados

<b>Data</b>	<b>identifier</b>
<i>Species</i>	scientific name
<i>Pollination syndrome</i>	pollination syndrome
<i>2050 - 4.5 - Maxent</i>	Future scenario year - RCP - algorithm
<i>2070 - 4.5 - Maxent</i>	Future scenario year - RCP - algorithm
<i>2050 - 8.5 - Maxent</i>	Future scenario year - RCP - algorithm
<i>2070 - 8.5 - Maxent</i>	Future scenario year - RCP - algorithm
<i>2050 - 4.5 - GLM</i>	Future scenario year - RCP - algorithm
<i>2070 - 4.5 - GLM</i>	Future scenario year - RCP - algorithm
<i>2050 - 8.5 - GLM</i>	Future scenario year - RCP - algorithm
<i>2070 - 8.5 - GLM</i>	Future scenario year - RCP - algorithm
<i>models predicting presence</i>	total number of models predicting species presence in the future
<i>y axis on graphic (figure 6)</i>	classification analysis considering current projection of occurrence
<i>x axis on graphic (figure 6)</i>	classification analysis considering forecasted scenarios (future) of occurrence
<i>Classes_CLAM</i>	CLAM analysis - generalist: both scenarios; current: preferably current; future: preferably future
<i>Forest_LAND USE</i>	number of occurrence points of forest cover
<i>Human.modified_LAND USE</i>	number of occurrence points of human modified cover
<i>Open.vegetation_LAND USE</i>	number of occurrence points of open vegetation cover
<i>Others_LAND USE</i>	number of occurrence points of other land cover
<i>total_OCC POINT</i>	total of occurrence points analyzed
<i>% OCC POINT on forest_LAND USE</i>	percentage of occurrence point of forest cover

ID	Species	Pollination syndrome	2050 - 4.5 - Maxe nt	2070 - 4.5 - Maxe nt	2050 - 8.5 - Maxe nt	2070 - 8.5 - Maxe nt	205 - 4.5	207 - 4.5	205 - 8.5	207 - 8.5	models predicti ng presence	y axis on graphi c (figur e 6)	x axis on graphi c (figur e 6)	Classes_CLA M	Forest_LA ND USE	Human.modified_L AND USE	Open.vegetation_L AND USE	Others_LAN D USE	total_O CC POINT	% OCC POIN T on fore st _LAN D USE
			2050 - 4.5 - Maxe nt	2070 - 4.5 - Maxe nt	2050 - 8.5 - Maxe nt	2070 - 8.5 - Maxe nt	GL M	24744	52516	Generalist	0	0	1161	0	1161	0				
1	<i>Abuta grandifolia</i> (Mart.) Sandwith	entomophily	1	0	0	0	1	1	1	0	4	24744	52516	Generalist	0	0	1161	0	1161	0
2	<i>Aciotis acuminifolia</i> (Mart. ex DC.) Triana	melittophily	1	1	0	0	1	1	1	0	5	24915	64088	Generalist	0	0	587	0	587	0
3	<i>Acisanthera crassipes</i> (Naudin) Wurdack	melittophily	1	1	1	1	0	0	0	0	4	18201	74753	Future	0	0	68	0	68	0
4	<i>Acrocera zizanioides</i> (Kunth) Dandy	anemophily	1	0	0	0	0	0	0	0	1	19172	2157	Current	0	0	888	0	888	0
5	<i>Aechmea angustifolia</i> Poepp. & Endl.	ornithophily	0	0	0	0	0	0	0	0	0	12843	2	Current	331	0	0	0	331	100
6	<i>Aechmea bromeliifolia</i> (Rudge) Baker	ornithophily	0	0	0	0	0	0	0	0	0	14782	18	Current	339	0	0	0	339	100
7	<i>Aechmea castelnavii</i> Baker	ornithophily	0	0	0	0	0	0	0	0	0	5994	5392	Generalist	44	0	0	0	44	100
8	<i>Aechmea mertensii</i> (G.Mey.) Schult. & Schult.f.	ornithophily	0	0	0	0	0	0	0	0	0	15090	1991	Current	545	0	0	0	545	100
9	<i>Aechmea tocantina</i> Baker	ornithophily	1	1	1	1	1	1	1	0	7	22351	94265	Future	93	0	0	0	93	100
10	<i>Aegiphila integrifolia</i> (Jacq.) Moldenke	melittophily	0	0	0	0	0	0	0	0	0	23360	97	Current	0	0	793	0	793	0
11	<i>Aegiphila racemosa</i> Vell.	melittophily	1	1	0	0	0	0	0	0	2	22910	592	Current	0	0	114	0	114	0
12	<i>Aeschynomene filosa</i> Mart.	melittophily	1	1	1	1	1	0	1	1	7	3874	36635	Future	0	80	0	0	80	0
13	<i>Ageratum conyzoides</i> L.	entomophily	0	0	0	0	0	0	0	0	0	13913	0	Current	1914	0	0	0	1914	100
14	<i>Albertia edulis</i> (Rich.) A.Rich. ex DC.	phalaenophil y	1	1	0	0	1	1	1	0	5	25208	41502	Generalist	2879	0	0	0	2879	100
15	<i>Allophylus latifolius</i> Huber	entomophily	0	0	0	0	0	0	0	0	0	18410	298	Current	20	0	0	0	20	100
16	<i>Allophylus racemosus</i> Sw.	entomophily	0	0	0	0	0	0	0	0	0	15600	326	Current	707	0	0	0	707	100
17	<i>Allophylus semidentatus</i> (Mig.) Radlk.	entomophily	0	0	0	0	0	0	0	0	0	1906	3	Current	117	0	0	0	117	100
18	<i>Amasonia campeste</i> s (Aubl.) Moldenke	ornithophily	1	0	0	1	1	1	1	0	5	22261	52857	Generalist	0	0	517	0	517	0
19	<i>Amasonia hirta</i> Benth.	ornithophily	0	0	0	0	0	0	0	0	0	744	285	Current	0	0	224	0	224	0
20	<i>Amasonia lasiocaulos</i> Mart. & Schauer ex Schauer	ornithophily	0	0	0	0	0	0	0	0	0	18009	34525	Generalist	0	0	13	0	13	0
21	<i>Amphilophium mansoanum</i> (DC.) L.G.Lohmann	melittophily	0	0	0	0	0	0	0	0	0	874	0	Current	208	0	0	0	208	100
22	<i>Anadenanthera peregrina</i> (L.) Speg.	melittophily	1	1	0	0	1	1	1	0	5	17132	12572	Generalist	0	721	0	0	721	0
23	<i>Andropogon bicoloris</i> L.	anemophily	1	1	0	0	1	0	0	0	3	24198	441	Current	0	0	1749	0	1749	0
24	<i>Andropogon leucostachys</i> Kunth	anemophily	1	1	0	0	1	1	0	0	4	23353	22016	Generalist	0	0	989	0	989	0
25	<i>Andropogon virgatus</i> Desv. ex Ham.	anemophily	1	1	0	0	1	1	1	0	5	17080	26238	Generalist	0	0	510	0	510	0
26	<i>Anemopaegma longipetiolatum</i> Sprague	melittophily	0	0	0	0	0	0	0	0	0	1	0	rare	41	0	0	0	41	100
27	<i>Aniseia martinicensis</i> (Jacq.) Cholgy	melittophily	1	1	0	0	1	1	1	0	5	16078	30189	Generalist	514	0	0	0	514	100
28	<i>Anthocephala lanata</i> (Kunth) Benth.	anemophily	1	0	0	0	1	1	0	0	3	21601	12661	Current	0	0	966	0	966	0
29	<i>Anthodon decussatum</i> Ruiz & Pav.	melittophily	0	0	0	0	0	0	0	0	0	11489	10908	Generalist	197	0	0	0	197	100
30	<i>Anthurium bonplandii</i> G.S.Bunting	cantharophil y	1	1	1	1	0	0	0	0	4	14850	45043	Future	455	0	0	0	455	100
31	<i>Anthurium gracile</i> (Rudge) Lindl.	cantharophil y	0	0	0	0	0	0	0	0	0	18737	17	Current	193	0	0	0	193	100
32	<i>Anthurium kunthii</i> Poepp.	cantharophil y	0	0	0	0	0	0	0	0	0	803	903	Generalist	391	0	0	0	391	100
33	<i>Anthurium lindmanianum</i> Engl.	cantharophil y	0	0	0	0	0	0	0	0	0	10100	31620	Future	94	0	0	0	94	100
34	<i>Anthurium sinuatum</i> Benth. ex Schott	cantharophil y	1	0	0	0	0	0	0	0	1	27933	41	Current	167	0	0	0	167	100
35	<i>Asclepias curassavica</i> L.	psychophily	1	0	0	0	0	0	0	0	1	8747	1643	Current	7125	0	0	0	7125	100
36	<i>Aspidosperma multiflorum</i> A.DC.	phalaenophil y	1	1	1	1	1	1	1	0	7	5648	66085	Future	202	0	0	0	202	100
37	<i>Aspidosperma subincanum</i> Mart. ex A.DC	phalaenophil y	1	1	1	1	0	0	0	0	4	1046	6279	Future	412	0	0	0	412	100
38	<i>Attalea maripa</i> (Aubl.) Mart.	entomophily	1	0	0	1	1	0	0	0	3	11660	70097	Future	2998	0	0	0	2998	100
39	<i>Augusta longifolia</i> (Spreng.) Rehder	ornithophily	0	0	0	0	0	0	0	0	0	151	0	Current	401	0	0	0	401	100
40	<i>Axonopus aureus</i> P.Beauv.	anemophily	1	1	0	0	1	1	0	0	4	24142	50149	Generalist	0	0	1023	0	1023	0
41	<i>Axonopus capillaris</i> (Lam.) Chase	anemophily	1	1	0	0	0	0	0	0	2	18727	961	Current	0	0	231	0	231	0
42	<i>Axonopus compressus</i> (Sw.) P.Beauv.	anemophily	0	0	0	0	0	0	0	0	0	18471	6	Current	0	0	474	0	758	1232
43	<i>Axonopus longispicis</i> (Döll) Kuhlm.	anemophily	0	0	0	0	0	0	0	0	0	14590	6183	Current	0	0	0	0	36	0
44	<i>Axonopus pressus</i> (Nees ex Steud.) Parodi	anemophily	0	0	1	1	0	0	0	0	2	46	26073	Future	0	0	0	0	248	0
45	<i>Axonopus purpusii</i> (Mez) Chase	anemophily	1	1	1	0	1	1	1	1	7	19502	68486	Future	0	0	0	0	410	410
46	<i>Axonopus rupestris</i> Davidge	anemophily	0	0	0	0	0	0	0	0	0	6468	0	Current	0	0	20	0	20	0
47	<i>Bacopa monnieroides</i> (Cham.) B.L.Rob.	melittophily	1	0	0	0	1	1	1	1	5	17268	48261	Generalist	0	0	121	0	121	0
48	<i>Bacopa myriophyllum</i> (Benth.) Wetst.	melittophily	1	1	1	1	1	1	1	1	8	9341	79440	Future	0	0	63	0	63	0
49	<i>Bacopa reflexa</i> (Benth.) Edwall	melittophily	1	1	1	1	1	1	1	1	8	16096	10873	Future	0	0	105	0	105	0
50	<i>Banisteriopsis malifolia</i> (Nees ex Mart.) B.Gates	melittophily	0	0	0	0	0	0	0	0	0	348	0	Current	0	857	0	0	857	0

ID	Species	Pollination syndrome	2050 - 4.5 - Maxe nt	2070 - 4.5 - Maxe nt	2050 - 8.5 - Maxe nt	2070 - 8.5 - Maxe nt	205 - 4.5	207 - 4.5	205 - 8.5	207 - 8.5	models predicti ng presence	Y axis on graphi c (figur e 6)	x axis on graphi c (figur e 6)	Classes_CLA M	Forest_LA ND USE	Human.modified_L AND USE	Open.vegetation_L AND USE	Others_LAN D USE	total_O CC POINT	% OCC POIN T on fore st _LAN D USE	
			2050 - 4.5 - Maxe nt	2070 - 4.5 - Maxe nt	2050 - 8.5 - Maxe nt	2070 - 8.5 - Maxe nt	GL M	15212	170	Current	0	1321	0	0	1321	0					
51	Banisteriopsis muricata (Cav.) Cuatrec.	melittophily	0	0	0	0	0	0	0	0	0	15212	170	Current	0	1321	0	0	1321	0	
52	Banisteriopsis stellaris (Griseb.) B.Gates	melittophily	1	0	0	0	0	0	0	0	1	5608	586	Current	0	1051	0	0	1051	0	
53	Bauhinia longicuspis Benth.	chiropteroph ily	1	0	0	0	1	1	1	1	5	26537	83011	Future	0	373	0	0	373	0	
54	Bauhinia longipedicellata Ducke	chiropteroph ily	0	0	0	0	0	0	0	0	0	12749	521	Current	0	22	0	0	22	0	
55	Bauhinia pulchella Benth.	chiropteroph ily	1	0	0	1	1	1	0	0	4	6806	5805	Generalist	0	492	0	0	492	0	
56	Becquerelia cymosa Brongn.	anemophily	0	0	1	1	0	0	0	0	2	4356	38343	Future	0	508	0	0	508	0	
57	Begonia guadensis Kunth	melittophily	0	0	1	1	0	0	0	0	2	10640	35140	Future	202	0	0	0	202	100	
58	Begonia humilis Aiton	melittophily	0	0	0	0	1	1	1	0	3	25645	53785	Generalist	73	0	0	0	73	100	
59	Begonia saxicola A.DC.	melittophily	0	0	0	0	0	0	0	0	0	3486	0	Current	92	0	0	0	92	100	
60	Begonia wollinii Herzog	melittophily	0	0	0	0	0	0	0	0	0	3841	450	Current	31	0	0	0	31	100	
61	Bellucia egensis (DC.) Penneys, Michelangeli, Judd, & Almeda	melittophily	1	1	1	1	1	1	1	1	8	22832	86644	Future	0	0	216	0	216	0	
62	Bidens bipinnata L.	melittophily	1	1	0	0	1	1	1	1	6	20312	58734	Future	81	0	0	0	81	100	
63	Bidens pilosa L.	melittophily	1	0	0	0	0	0	0	0	1	7888	2	Current	2643	0	0	0	2643	100	
64	Bignonia corymbosa (Vent.) L.G.Lohmann	melittophily	1	0	1	1	1	1	0	0	5	12593	59955	Future	874	0	0	0	874	100	
65	Blepharodon pictum (Vahl) W.D.Stevens	phalaenophil y	0	0	0	0	0	0	0	0	0	20368	72	Current	978	0	0	0	978	100	
66	Bomarea edulis (Tussac) Herb.	ornithophily	0	0	0	0	0	0	0	0	0	3679	0	Current	1231	0	0	0	1231	100	
67	Borreria elaiosilicata E.L.Cabral & L.M.Miguel	entomophily	0	0	0	0	0	0	0	0	0	1620	0	Current	8	0	0	0	8	100	
68	Borreria spinosa Cham. & Schidl. ex DC.	entomophily	0	0	0	0	0	0	0	0	0	968	91	Current	137	0	0	0	137	100	
69	Brasilianthus carajensis Almeida & Michelangeli	melittophily	0	0	0	0	0	0	0	0	0	1134	0	Current	0	0	17	0	17	0	
70	Bredemeyera divaricata (DC.) J.F.B.Pastore	melittophily	1	0	0	0	0	0	0	0	1	14076	28361	Generalist	40	0	0	0	40	100	
71	Bredemeyera floribunda Willd.	melittophily	0	0	0	0	1	0	0	0	1	10152	24	Current	616	0	0	0	616	100	
72	Bulbostylis conifera (Kunth) C.B.Clarke	anemophily	1	1	0	0	0	1	1	1	0	5	18656	13084	Generalist	0	365	0	0	365	0
73	Bulbostylis lagoensis (Boeckeler) Prata & M.G.López	anemophily	0	0	0	0	0	1	1	1	4	1514	44438	Future	0	65	0	0	65	0	
74	Burmannia capitata (Walter ex J.F.Gmel.) Mart.	melittophily	1	0	0	0	0	1	1	0	0	3	28782	6556	Current	354	0	0	0	354	100
75	Burmannia flava Mart.	melittophily	0	0	0	0	0	0	0	0	0	7809	161	Current	139	0	0	0	139	100	
76	Byrsinima chrysophylla Kunth	melittophily	0	0	0	0	0	1	1	1	0	3	27642	11030	Current	0	370	0	0	370	0
77	Byrsinima crispia A.Juss.	melittophily	1	0	0	0	0	1	1	0	0	3	26140	35729	Generalist	0	407	0	0	407	0
78	Byrsinima stipulacea A.Juss.	melittophily	0	0	0	0	0	0	0	0	0	9912	0	Current	0	340	0	0	340	0	
79	Cabomba furcata Schult. & Schult.f.	melittophily	1	1	0	0	1	1	1	1	0	5	16316	18971	Generalist	229	0	0	0	229	100
80	Cabomba haynesii Wiersma	melittophily	1	1	0	0	0	0	0	0	0	2	2289	176	Current	56	0	0	0	56	100
81	Calea cauleoides (DC.) H.Rob.	entomophily	0	0	0	0	0	0	0	0	0	0	4165	3227	Generalist	48	0	0	0	48	100
82	Callisthenia microphylla Warm.	melittophily	0	0	0	0	0	0	0	0	0	0	928	3417	Future	84	0	0	0	84	100
83	Calophyllum brasiliense Cambess.	melittophily	1	0	0	0	0	0	0	0	0	1	24680	6758	Current	1881	0	0	0	1881	100
84	Calopogonium mucunoides Desv.	melittophily	1	1	0	0	0	0	0	0	0	2	28770	29347	Generalist	0	1018	0	0	1018	0
85	Calyptranthes bipinnata O.Berg	melittophily	0	0	0	0	0	0	0	0	0	49	12644	Future	0	0	161	0	161	0	
86	Campomanesia aromaticia (Aubl.) Griseb	melittophily	1	1	1	1	1	1	1	1	0	7	10760	27417	Generalist	0	268	0	0	268	0
87	Campotessa ellipticum (Desv.) Burkart	ornithophily	1	1	1	1	0	1	0	0	0	4	7673	17017	Generalist	0	263	0	0	263	0
88	Cantinoa americana (Aubl.) Harley & J.F.B.Pastore	melittophily	0	0	0	0	0	0	0	0	0	0	4154	584	Current	0	0	122	0	122	0
89	Cantinoa mutabilis (Rich.) Harley & J.F.B.Pastore	melittophily	0	0	0	0	0	0	0	0	0	0	14583	56	Current	0	0	2229	0	2229	0
90	Caryocar villosum (Aubl.) Pers.	chiropteroph ily	0	0	0	0	0	0	0	0	0	0	27602	19887	Generalist	154	0	0	0	154	100
91	Casearia arborea (Rich.) Urb.	entomophily	1	0	0	0	1	0	0	0	2	26174	13857	Current	2091	0	0	0	2091	100	
92	Casearia grandiflora Cambess.	melittophily	1	1	1	0	1	1	0	0	5	27981	31373	Generalist	899	0	0	0	899	100	
93	Casearia javitensis Kunth	melittophily	1	0	0	0	1	1	0	0	3	27581	39650	Generalist	1840	0	0	0	1840	100	
94	Cassytha filiformis L.	entomophily	1	1	0	0	0	1	1	1	0	5	20640	21929	Generalist	1218	0	0	0	1218	100
95	Catasetum discolor (Lindl.) Lindl.	melittophily	1	1	0	0	0	0	0	0	2	18013	1479	Current	0	109	0	0	109	0	
96	Cayaponia tayuya (Vell.) Cogn.	melittophily	1	1	0	0	0	0	0	0	2	6074	1105	Current	386	0	0	0	386	100	
97	Cenchrus polystachios (L.) Morrone	melittophily	1	1	0	0	0	1	1	0	0	4	16984	1897	Current	0	0	0	0	639	639
98	Centrosema carajasense Cavalcante	melittophily	0	0	0	0	0	0	0	0	0	0	11782	16193	Generalist	0	12	0	0	12	0
99	Centrosema graziae V.P.Barbosa	melittophily	1	1	1	1	0	0	0	0	4	9536	53978	Future	0	11	0	0	11	0	
10	Cereus hexagonus (L.) Mill.	chiropteroph ily	1	1	1	1	0	0	0	0	4	17921	80054	Future	110	0	0	0	110	100	
0																					

ID	Species	Pollination syndrome	2050 - 4.5 - Maxe nt	2070 - 4.5 - Maxe nt	2050 - 8.5 - Maxe nt	2070 - 8.5 - Maxe nt	205 GL M	207 GL M	205 GL M	207 GL M	models predicti ng presenc e	Y axis on graphi c (figur e 6)	x axis on graphi c (figur e 6)	Classes_CLA M	Forest_LA ND USE	Human.modified_L AND USE	Open.vegetation_L AND USE	Others_LAN D USE	total_O CC POINT	% OCC POIN T on fore st _LAN D USE
			2050 - 4.5 - Maxe nt	2070 - 4.5 - Maxe nt	2050 - 8.5 - Maxe nt	2070 - 8.5 - Maxe nt	205 GL M	207 GL M	205 GL M	207 GL M	models predicti ng presenc e	Y axis on graphi c (figur e 6)	x axis on graphi c (figur e 6)	Classes_CLA M	Forest_LA ND USE	Human.modified_L AND USE	Open.vegetation_L AND USE	Others_LAN D USE	total_O CC POINT	% OCC POIN T on fore st _LAN D USE
10 1	<i>Chamaecrista diphylia</i> (L.) Greene	melittophily	1	1	1	0	1	1	1	1	7	27000	52749	Generalist	0	828	0	0	828	0
10 2	<i>Chamaecrista flexuosa</i> L.	melittophily	1	1	0	0	1	1	1	0	5	22762	21514	Generalist	0	1559	0	0	1559	0
10 3	<i>Chamaecrista rotundifolia</i> (Pers.) Greene	melittophily	1	1	1	0	1	1	1	0	6	7803	20361	Generalist	0	1422	0	0	1422	0
10 4	<i>Chamaecrista trichopoda</i> (Benth.) Britton & Rose ex Britton & Killip	melittophily	1	1	1	0	1	0	0	0	4	6697	2138	Current	0	178	0	0	178	0
10 5	<i>Cheiloclinium hippocrateoides</i> (Peyr.) A.C.Sm	melittophily	0	0	0	0	0	0	0	0	0	24594	6949	Current	335	0	0	0	335	100
10 6	<i>Chelonanthus purpurascens</i> (Aubl.) Struwe, S.Nilsson & V.A.Albert	melittophily	0	0	1	1	0	0	0	0	2	11864	37661	Future	0	0	881	0	881	0
10 7	<i>Chelonanthus viridiflorus</i> (Mart.) Gilg	chiropteroph ily	0	0	0	0	1	1	0	0	2	10430	1178	Current	0	0	217	0	217	0
10 8	<i>Chloris barbata</i> Sw.	anemophily	1	0	0	0	0	0	0	0	1	2137	383	Current	0	0	0	637	637	0
10 9	<i>Chloroleucon acacioides</i> (Ducke) Barneby & J.W.Grimes	entomophily	1	0	0	0	1	1	1	1	5	16869	57788	Future	0	123	0	0	123	0
11 0	<i>Chomelia ribesioides</i> Benth. ex A.Gray	phalaenophil y	0	0	0	0	0	0	0	0	0	319	713	Generalist	559	0	0	0	559	100
11 1	<i>Chromolaena maximilianii</i> (Schrad. ex DC.) R.M.King & H.Rob.	melittophily	0	0	0	0	0	0	0	0	0	3618	167	Current	288	0	0	0	288	100
11 2	<i>Cipura xanthomelas</i> Maxim ex Klatt	melittophily	1	0	1	0	0	0	0	0	2	5958	3406	Current	0	0	195	0	195	0
11 3	<i>Cissus apendiculata</i> Lombardi	melittophily	0	0	0	0	1	1	1	0	3	6691	34068	Future	9	0	0	0	9	100
11 4	<i>Cissus erosa</i> Rich.	melittophily	1	1	0	0	1	1	1	0	5	25925	25462	Generalist	2512	0	0	0	2512	100
11 5	<i>Cissus sulcicaulis</i> (Baker) Planch.	melittophily	0	0	0	0	0	0	0	0	0	495	0	Current	201	0	0	0	201	100
11 6	<i>Cissus tinctoria</i> Mart. in Spix & Mart.	melittophily	0	0	0	0	0	0	0	0	0	2466	71	Current	16	0	0	0	16	100
11 7	<i>Cissus verticillata</i> (L.) Nicolson & C.E.Jarvis	melittophily	1	1	0	0	0	0	0	0	2	17340	5574	Current	5153	0	0	0	5153	100
11 8	<i>Clavija macrophylla</i> (Link ex Roem. & Schult.) Miq.	entomophily	1	1	1	1	1	1	1	1	8	15749	10400	Future	36	0	0	0	36	100
11 9	<i>Clidemia capitellata</i> (Bonpl.) D.Don	melittophily	1	0	0	0	0	0	0	0	1	25566	1276	Current	0	0	1908	0	1908	0
12 0	<i>Clidemia hirta</i> (L.) D.Don	melittophily	0	0	0	0	0	0	0	0	0	21330	104	Current	0	0	2517	0	2517	0
12 1	<i>Clidemia microthyrsa</i> R.O.Williams	melittophily	0	0	0	0	0	0	0	0	0	17781	22050	Generalist	0	0	9	0	9	0
12 2	<i>Clitoria falcata</i> Lam.	melittophily	1	1	0	0	0	0	0	0	2	24127	352	Current	0	350	0	0	350	0
12 3	<i>Clusia nemorosa</i> G.Mey	melittophily	1	0	1	0	0	0	0	0	2	11847	3577	Current	1411	0	0	0	1411	100
12 4	<i>Clusia panapanari</i> (Aubl.) Choisy	melittophily	1	0	0	1	0	0	0	0	2	17520	24010	Generalist	448	0	0	0	448	100
12 5	<i>Coccloba coronata</i> Jacq.	entomophily	0	0	0	0	0	0	0	0	0	16472	8902	Current	166	0	0	0	166	100
12 6	<i>Coccloba parimensis</i> Benth.	entomophily	0	1	1	0	0	0	0	0	2	6715	10009	Generalist	316	0	0	0	316	100
12 7	<i>Cochlospermum orinocense</i> (Kunth) Steud.	melittophily	1	0	0	0	1	1	1	0	4	26802	58680	Generalist	467	0	0	0	467	100
12 8	<i>Coleataenia scabrida</i> (Döll) Zuloaga	anemophily	1	1	1	1	1	1	1	1	8	28499	11703	Future	0	0	0	29	29	0
12 9	<i>Coleataenia stenodes</i> (Griseb.) Soreng	anemophily	1	1	1	1	1	1	1	0	7	18362	62484	Future	0	0	0	120	120	0

ID	Species	Pollination syndrome	2050 - 4.5 - Maxe nt	2070 - 4.5 - Maxe nt	2050 - 8.5 - Maxe nt	2070 - 8.5 - Maxe nt	205 GL M	207 GL M	205 GL M	207 GL M	models predicti ng presenc e	y axis on graphi c (figur e 6)	x axis on graphi c (figur e 6)	Classes_CLA M	Forest_LA ND USE	Human.modified_L AND USE	Open.vegetation_L AND USE	Others_LAN D USE	total_O CC POINT	% OCC POIN T on fore st _LAN D USE
			2050 - 4.5 - Maxe nt	2070 - 4.5 - Maxe nt	2050 - 8.5 - Maxe nt	2070 - 8.5 - Maxe nt	205 GL M	207 GL M	205 GL M	207 GL M	models predicti ng presenc e	y axis on graphi c (figur e 6)	x axis on graphi c (figur e 6)	Classes_CLA M	Forest_LA ND USE	Human.modified_L AND USE	Open.vegetation_L AND USE	Others_LAN D USE	total_O CC POINT	% OCC POIN T on fore st _LAN D USE
13 0	<i>Coleostachys genipifolia</i> A.Juss.	melittophily	0	0	0	0	0	0	0	0	0	7502	16187	Generalist	0	12	0	0	12	0
13 1	<i>Combretum laxum</i> Jacq.	melittophily	1	1	0	0	1	1	1	1	6	25195	59086	Generalist	1995	0	0	0	1995	100
13 2	<i>Commelina benghalensis</i> L.	melittophily	1	1	1	1	1	1	1	0	7	16427	18989	Generalist	301	0	0	0	301	100
13 3	<i>Commelina erecta</i> L.	melittophily	1	0	0	0	0	0	0	0	1	2176	118	Current	3303	0	0	0	3303	100
13 4	<i>Commelina obliqua</i> Vahl	melittophily	0	0	0	0	0	0	0	0	0	615	31	Current	695	0	0	0	695	100
13 5	<i>Copaifera martii</i> Hayne	melittophily	1	1	1	1	1	1	1	0	7	16389	15642	Generalist	0	418	0	0	418	0
13 6	<i>Cordiera myrciifolia</i> (K.Schum.) C.H.Perss. & Delprete	psychophily	1	1	1	0	1	1	1	0	6	22478	60842	Generalist	567	0	0	0	567	100
13 7	<i>Costus lasius</i> Loes.	ornithophily	0	0	0	0	0	0	0	0	0	8377	1	Current	410	0	0	0	410	100
13 8	<i>Costus scaber</i> Ruiz & Pav.	ornithophily	0	0	0	0	0	0	0	0	0	21946	13650	Current	1555	0	0	0	1555	100
13 9	<i>Costus spiralis</i> (Jacq.) Roscoe	ornithophily	1	1	0	0	1	1	1	0	5	24398	34181	Generalist	793	0	0	0	793	100
14 0	<i>Crotalaria maypurensis</i> Kunth	melittophily	1	1	0	0	1	1	1	0	5	14552	40174	Generalist	0	740	0	0	740	0
14 1	<i>Cuphea annulata</i> Koehne	ornithophily	0	0	0	0	0	0	0	0	0	11566	6650	Current	0	79	0	0	79	0
14 2	<i>Cuphea carthaginensis</i> (Jacq.) J.F.Macbr.	melittophily	0	0	0	0	0	0	0	0	0	10416	0	Current	0	1868	0	0	1868	0
14 3	<i>Curtia tenuifolia</i> (Aubl.) Knobl	melittophily	1	1	0	0	1	1	0	0	4	24364	6835	Current	0	0	506	0	506	0
14 4	<i>Cyathula achyranthoides</i> (Kunth) Moq.	entomophily	0	0	0	0	0	0	0	0	0	14524	0	Current	594	0	0	0	594	100
14 5	<i>Cyathula prostrata</i> (L.) Blume	entomophily	0	0	0	0	0	0	0	0	0	22337	4	Current	718	0	0	0	718	100
14 6	<i>Cybianthus detergens</i> Mart.	entomophily	0	0	0	0	0	0	0	0	0	3386	1700	Current	401	0	0	0	401	100
14 7	<i>Cybianthus penduliflorus</i> Mart.	entomophily	0	0	0	0	0	0	0	0	0	23250	12577	Current	78	0	0	0	78	100
14 8	<i>Cyperus distans</i> L.f.	anemophily	0	0	1	1	0	0	0	0	2	300	23809	Future	0	281	0	0	281	0
14 9	<i>Cyperus haspan</i> L.	anemophily	1	1	1	0	1	1	0	0	5	20035	8892	Current	1741	0	0	0	1741	100
15 0	<i>Cyperus hortensis</i> (Salzm. ex Schleidl.) Dorr	anemophily	0	0	0	0	0	0	0	0	0	16949	7	Current	0	873	0	0	873	0
15 1	<i>Cyperus laxus</i> Lam.	anemophily	1	1	0	0	0	0	0	0	2	26092	1360	Current	0	1653	0	0	1653	0
15 2	<i>Cyperus luzulae</i> (L.) Rottb. ex Retz.	anemophily	1	1	0	0	0	0	0	0	2	23843	15883	Current	0	2312	0	0	2312	0
15 3	<i>Cyperus polystachyos</i> Rottb.	anemophily	1	1	1	0	0	0	1	1	5	11548	29344	Generalist	0	658	0	0	658	0
15 4	<i>Cyperus sesquiflorus</i> (Torr.) Mattf. & Kük	anemophily	0	0	0	0	0	0	0	0	0	12789	0	Current	0	749	0	0	749	0
15 5	<i>Cyperus sphacelatus</i> Rottb.	anemophily	1	1	0	0	1	1	0	0	4	22894	60327	Generalist	0	258	0	0	258	0
15 6	<i>Cyperus subsquarrosum</i> (Muell.) Bauters	anemophily	1	1	1	0	1	1	1	1	7	10118	19936	Generalist	0	176	0	0	176	0
15 7	<i>Cyperus surinamensis</i> Rottb.	anemophily	1	1	0	0	0	0	0	0	2	13379	1673	Current	0	1326	0	0	1326	0
15 8	<i>Cyrtopodium andersonii</i> (Lamb. ex Andrews) R.Br.	melittophily	1	1	1	1	0	0	0	0	4	19520	77904	Future	0	34	0	0	34	0

ID	Species	Pollination syndrome	2050 - 4.5 - Maxe nt	2070 - 4.5 - Maxe nt	2050 - 8.5 - Maxe nt	2070 - 8.5 - Maxe nt	205 GL M	207 GL M	205 GL M	207 GL M	models predicti ng presenc e	y axis on graphi c (figur e 6)	x axis on graphi c (figur e 6)	Classes_CLA M	Forest_LA ND USE	Human.modified_L AND USE	Open.vegetation_L AND USE	Others_LAN D USE	total_O CC POINT	% OCC POIN T on fore st _LAN D USE
			2050 - 4.5 - Maxe nt	2070 - 4.5 - Maxe nt	2050 - 8.5 - Maxe nt	2070 - 8.5 - Maxe nt	205 GL M	207 GL M	205 GL M	207 GL M	models predicti ng presenc e	y axis on graphi c (figur e 6)	x axis on graphi c (figur e 6)	Classes_CLA M	Forest_LA ND USE	Human.modified_L AND USE	Open.vegetation_L AND USE	Others_LAN D USE	total_O CC POINT	% OCC POIN T on fore st _LAN D USE
15 9	<i>Dalbergia spruceana</i> Benth.	melittophily	0	0	0	0	1	1	0	0	2	20797	46796	Generalist	0	106	0	0	106	0
16 0	<i>Dalbergia subcymosa</i> Ducke	melittophily	0	0	0	0	0	0	0	0	0	8661	7987	Generalist	0	23	0	0	23	0
16 1	<i>Dendrophthora warmingii</i> (Eichler) Kuijt	entomophily	1	1	1	1	0	0	0	0	4	7705	44433	Future	125	0	0	0	125	100
16 2	<i>Desmodium barbatum</i> (L.) Benth.	melittophily	1	1	0	0	1	1	0	0	4	27523	4373	Current	0	1509	0	0	1509	0
16 3	<i>Desmodium incanum</i> (Sw.) DC.	melittophily	0	0	0	0	0	0	0	0	0	17052	90	Current	0	2210	0	0	2210	0
16 4	<i>Desmodium triflorum</i> (L.) DC.	melittophily	1	1	0	0	1	1	1	0	5	15649	10405	Current	0	320	0	0	320	0
16 5	<i>Desmoscelis villosa</i> (Aubl.) Naudin	melittophily	1	1	0	0	1	1	1	0	5	23789	50407	Generalist	0	0	604	0	604	0
16 6	<i>Dichaea panamensis</i> Lindl.	melittophily	1	0	0	0	0	0	0	0	1	2568	10	Current	0	320	0	0	320	0
16 7	<i>Dichorisandra hexandra</i> (Aubl.) C.B.Clarke	melittophily	0	0	0	0	0	0	0	0	0	23954	0	Current	1560	0	0	0	1560	100
16 8	<i>Dichorisandra villosula</i> Mart. ex Schult & Schult.f.	melittophily	0	0	0	1	0	0	0	0	1	13799	26480	Generalist	73	0	0	0	73	100
16 9	<i>Dictyoloma vandelianum</i> A.Juss.	entomophily	0	0	0	0	0	0	0	0	0				497	0	0	0	497	100
17 0	<i>Digitaria ciliaris</i> (Retz.) Koeler	anemophily	1	0	0	0	0	0	0	0	1	5389	76	Current	0	0	0	179	1793	0
17 1	<i>Digitaria insularis</i> (L.) Fedde	anemophily	0	0	0	0	0	0	0	0	0	4354	0	Current	0	0	0	144	1443	0
17 2	<i>Digitaria violascens</i> Link	anemophily	0	0	0	0	0	0	0	0	0	7260	556	Current	0	0	0	270	270	0
17 3	<i>Dimorphandra gardneriana</i> Tul.	melittophily	1	0	0	0	1	1	0	0	3	3972	2330	Current	0	336	0	0	336	0
17 4	<i>Dioclea megacarpa</i> Rolfe	melittophily	0	0	0	0	1	1	1	1	4	14749	56971	Future	0	75	0	0	75	0
17 5	<i>Diplopterys pubipetala</i> (A.Juss.) W.R.Anderson & C.Davis	melittophily	0	0	0	0	1	0	0	0	1	7008	211	Current	0	1156	0	0	1156	0
17 6	<i>Distimake macrocalyx</i> (Ruiz & Pav.) A.R.Simões & Staples	melittophily	1	1	0	0	0	0	0	0	2	16946	7324	Current	1095	0	0	0	1095	100
17 7	<i>Doliocarpus brevipedicellatus</i> Garcke	entomophily	1	0	0	0	1	0	0	0	2	27409	37463	Generalist	0	259	0	0	259	0
17 8	<i>Drymaria cordata</i> (L.) Willd. ex Roem. & Schult.	melittophily	0	0	0	0	0	0	0	0	0	11683	8362	Generalist	776	0	0	0	776	100
17 9	<i>Dyckia duckei</i> L.B.Sm.	ornithophily	0	0	0	0	0	0	0	0	0	11965	20988	Generalist	22	0	0	0	22	100
18 0	<i>Eleocharis acutangula</i> (Roxb.) Schult.	anemophily	1	1	0	0	1	1	0	0	4	17824	18398	Generalist	0	435	0	0	435	0
18 1	<i>Eleocharis endounifascia</i> Hinchliff & Roalson	anemophily	1	1	1	1	0	0	0	0	4	10480	21241	Generalist	0	12	0	0	12	0
18 2	<i>Eleocharis flavescens</i> (Poir.) Urb.	anemophily	0	0	0	0	0	0	0	0	0	5485	3587	Current	0	131	0	0	131	0
18 3	<i>Eleocharis geniculata</i> (L.) Roem. & Schult	anemophily	1	1	1	0	0	0	0	0	3	6013	3809	Current	0	1729	0	0	1729	0
18 4	<i>Eleocharis plicarachis</i> (Griseb.) Svensson	anemophily	1	0	0	0	0	0	0	1	2	7199	25493	Future	0	126	0	0	126	0
18 5	<i>Elephantopus mollis</i> Kunt.	entomophily	0	0	0	0	0	0	0	0	0	16475	255	Current	4755	0	0	0	4755	100
18 6	<i>Eleusine indica</i> (L.) Gaertn.	anemophily	1	1	0	0	0	0	0	0	2	15345	370	Current	0	0	0	247	2476	0
18 7	<i>Emilia sonchifolia</i> (L.) DC.	psychophily	1	1	0	0	1	0	0	0	3	20750	7808	Current	777	0	0	0	777	100

ID	Species	Pollination syndrome	2050 - 4.5 - Maxe nt	2070 - 4.5 - Maxe nt	2050 - 8.5 - Maxe nt	2070 - 8.5 - Maxe nt	205 GL M	207 GL M	205 GL M	207 GL M	models predicti ng presenc e	y axis on graphi c (figur e 6)	x axis on graphi c (figur e 6)	Classes_CLA M	Forest_LA ND USE	Human.modified_L AND USE	Open.vegetation_L AND USE	Others_LAN D USE	total_O CC POINT	% OCC POIN T on fore st _LAN D USE
			2050 - 4.5 - Maxe nt	2070 - 4.5 - Maxe nt	2050 - 8.5 - Maxe nt	2070 - 8.5 - Maxe nt	205 GL M	207 GL M	205 GL M	207 GL M	models predicti ng presenc e	y axis on graphi c (figur e 6)	x axis on graphi c (figur e 6)	Classes_CLA M	Forest_LA ND USE	Human.modified_L AND USE	Open.vegetation_L AND USE	Others_LAN D USE	total_O CC POINT	% OCC POIN T on fore st _LAN D USE
18 8	Enterolobium schomburgkii (Benth.) Benth.	melittophily	1	1	0	0	1	1	0	0	4	26131	46574	Generalist	0	558	0	0	558	0
18 9	Epidendrum amblostromoides Hoehne	melittophily	0	0	0	0	0	0	0	0	0	1960	279	Current	0	8	0	0	8	0
19 0	Epidendrum nocturnum Jacq.	melittophily	1	1	0	0	1	1	0	0	4	24611	32787	Generalist	0	762	0	0	762	0
19 1	Epidendrum purpurascens Focke	melittophily	0	0	0	0	0	0	0	0	0	18318	7007	Current	0	46	0	0	46	0
19 2	Epiphyllum phyllanthus (L.) Haw.	phalaenophil y	1	0	0	0	0	0	0	0	1	23035	45	Current	691	0	0	0	691	100
19 3	Eragrostis bahiensis Schrad. ex Schult	phalaenophil y	0	0	0	0	0	0	0	0	0	248	0	Current	0	0	0	677	677	0
19 4	Eragrostis curvula (Schrad.) Nees	anemophily	0	0	0	0	0	0	0	0	0	912	Future	0	0	0	0	166	166	0
19 5	Eragrostis maypurensis (Kunth) Steud.	anemophily	1	1	1	0	1	1	1	1	7	26590	27061	Generalist	0	0	0	782	782	0
19 6	Eragrostis pilosa (L.) P.Beuv. ex Roem. & Schult.	anemophily	1	0	0	0	0	0	0	0	1	5312	3522	Generalist	0	0	0	558	558	0
19 7	Eragrostis rufescens Schrad. ex Schult.	anemophily	0	0	1	0	0	0	0	0	1	635	4877	Future	0	0	0	309	309	0
19 8	Eragrostis unioloides (Retz.) Nees ex Steud.	anemophily	0	0	0	0	0	0	0	0	0	3084	20024	Future	0	0	0	99	99	0
19 9	Eriocaulon cinereum R.Br.	anemophily	1	1	1	1	1	1	1	1	8	12241	81150	Future	0	36	0	0	36	0
20 0	Eriocaulon tenuifolium Klotzsch ex Körn.	anemophily	1	1	1	1	0	0	0	0	4	2662	52253	Future	0	71	0	0	71	0
20 1	Eriotheca globosa (Aubl.) A.Robyns	melittophily	0	0	0	0	0	0	0	0	0	25115	4603	Current	0	247	0	0	247	0
20 2	Ertela trifolia (L.) Kuntze	melittophily	1	1	0	0	1	1	1	0	5	24888	29714	Generalist	607	0	0	0	607	100
20 3	Erycina pusilla (L.) N.H.Williams & M.W.Chase	melittophily	0	0	0	0	0	0	0	0	0	23620	840	Current	0	460	0	0	460	0
20 4	Erythroxylum citrifolium A.St.-Hil.	melittophily	1	0	0	0	1	1	0	0	3	26230	9642	Current	0	1528	0	0	1528	0
20 5	Eugenia anastomosans DC.	melittophily	0	0	0	0	0	0	0	0	0	13774	2777	Current	0	0	2879	0	2879	0
20 6	Eugenia cupulata Amshoff	melittophily	1	1	0	0	1	1	1	1	6	24985	69577	Generalist	0	0	80	0	80	0
20 7	Eugenia densiracemosa Mazine & Faria	melittophily	1	1	0	0	0	0	0	0	2	9007	24917	Generalist	0	0	37	0	37	0
20 8	Eugenia egensis DC.	melittophily	0	0	0	0	1	1	1	0	3	21374	44912	Generalist	0	0	836	0	836	0
20 9	Eugenia flavescens DC.	melittophily	1	1	0	0	1	1	1	1	6	24598	44902	Generalist	0	0	411	0	411	0
21 0	Eugenia florida DC.	melittophily	1	0	0	0	0	0	0	0	1	24152	10731	Current	0	0	1868	0	1868	0
21 1	Eugenia punicifolia (Kunth) DC.	melittophily	1	1	0	0	1	1	0	0	4	21718	1984	Current	0	0	3337	0	3337	0
21 2	Euploca lagoensis (Warm.) Diane & Hilger	melittophily	0	0	0	0	0	0	0	0	0	767	15960	Future	0	0	43	0	43	0
21 3	Evolvulus filipes Mart.	melittophily	1	1	1	1	1	1	1	1	8	9315	27524	Future	381	0	0	0	381	100
21 4	Evolvulus lithospermoides Mart.	melittophily	0	0	0	0	0	0	0	0	0	1444	3212	Generalist	49	0	0	0	49	100
21 5	Faramea capillipes Müll.Arg.	phalaenophil y	0	0	0	0	1	0	0	0	1	24285	35867	Generalist	721	0	0	0	721	100
21 6	Faramea multiflora A.Rich.	phalaenophil y	0	0	0	0	0	0	0	0	0	16150	17884	Generalist	601	0	0	0	601	100

ID	Species	Pollination syndrome	2050 - 4.5 - Maxe nt	2070 - 4.5 - Maxe nt	2050 - 8.5 - Maxe nt	2070 - 8.5 - Maxe nt	205 - 0 - GL M	207 - 0 - GL M	205 - 8.5 - GL M	207 - 8.5 - GL M	models predicti ng presenc e	y axis on graphi c (figur e 6)	x axis on graphi c (figur e 6)	Classes_CLA M	Forest_LA ND USE	Human.modified_L AND USE	Open.vegetation_L AND USE	Others_LAN D USE	total_O CC POINT	% OCC POIN T on fore st _LAN D USE
			2050 - 4.5 - Maxe nt	2070 - 4.5 - Maxe nt	2050 - 8.5 - Maxe nt	2070 - 8.5 - Maxe nt	205 - 0 - GL M	207 - 0 - GL M	205 - 8.5 - GL M	207 - 8.5 - GL M	models predicti ng presenc e	y axis on graphi c (figur e 6)	x axis on graphi c (figur e 6)	Classes_CLA M	Forest_LA ND USE	Human.modified_L AND USE	Open.vegetation_L AND USE	Others_LAN D USE	total_O CC POINT	% OCC POIN T on fore st _LAN D USE
21 7	<i>Galactia jussiaeana</i> Kunth	melittophily	1	1	1	0	1	1	1	1	7	20648	60409	Future	0	357	0	0	357	0
21 8	<i>Garcinia madruno</i> (Kunth) Hammel	melittophily	0	0	0	0	1	1	0	0	2	26557	27487	Generalist	786	0	0	0	786	100
21 9	<i>Genlisea filiformis</i> A.St.-Hil.	melittophily	0	0	0	0	0	0	0	0	0	4945	59	Current	128	0	0	0	128	100
22 0	<i>Geophila cordifolia</i> Miq.	phalaenophil y	0	0	0	0	0	0	0	0	0	17381	9705	Current	414	0	0	0	414	100
22 1	<i>Goyazia rupicola</i> Taub.	melittophily	0	0	0	0	0	0	0	0	0	3074	8457	Generalist	0	0	19	0	19	0
22 2	<i>Guapira venosa</i> (Choisy) Lundell	melittophily	0	0	0	0	0	0	0	0	0	16707	20537	Generalist	80	0	0	0	80	100
22 3	<i>Guarea macrophylla</i> Vahl	melittophily	0	0	0	0	0	0	0	0	0	5409	2006	Current	0	0	2843	0	2843	0
22 4	<i>Guarea pubescens</i> (Rich.) A.Juss.	melittophily	0	0	0	0	0	0	0	0	0	21111	30921	Generalist	0	0	660	0	660	0
22 5	<i>Guarea silvatica</i> C.DC.	melittophily	0	0	0	0	0	0	0	0	0	19195	2022	Current	0	0	478	0	478	0
22 6	<i>Gurania bignonacea</i> (Poepp. & Endl.) C.Jeffrey	ornithophily	0	0	0	0	0	0	0	0	0	26133	131	Current	791	0	0	0	791	100
22 7	<i>Gurania sinuata</i> (Benth.) Cogn.	ornithophily	0	0	0	0	0	0	0	0	0	22539	220	Current	107	0	0	0	107	100
22 8	<i>Gurania subumbellata</i> (Miq.) Cogn.	psychophily	0	0	0	0	0	0	0	0	0	5990	11001	Generalist	191	0	0	0	191	100
22 9	<i>Habenaria ludibundiciliata</i> J.A.N.Bat. & Bianch.	melittophily	0	0	1	1	1	1	1	1	6	10722	49984	Future	0	10	0	0	10	0
23 0	<i>Hebeclinium macrophyllum</i> (L.) DC.	entomophily	0	0	0	0	0	0	0	0	0	23930	14385	Current	605	0	0	0	605	100
23 1	<i>Helanthium tenellum</i> (Mart. ex Schult.f.) J.G.Sm.	melittophily	1	1	1	1	1	1	1	1	8	16382	46333	Generalist	199	0	0	0	199	100
23 2	<i>Helicteres brevispira</i> A.St.-Hil.	ornithophily	0	0	0	0	0	0	0	0	0	1035	8879	Future	0	43	0	0	43	0
23 3	<i>Helicteres guazumifolia</i> Kunth	ornithophily	1	1	0	0	1	1	1	1	6	9761	66321	Future	0	1284	0	0	1284	0
23 4	<i>Helosis cayennensis</i> (Sw.) Spreng.	entomophily	1	0	0	0	1	0	0	0	2	23650	9308	Current	574	0	0	0	574	100
23 5	<i>Hemipogon sprucei</i> E.Fourn.	psychophily	0	0	0	0	0	0	0	0	0	2412	73	Current	99	0	0	0	99	100
23 6	<i>Henriettea ramiflora</i> (Sw.) DC.	melittophily	0	0	0	0	1	1	0	0	2	16617	795	Current	0	0	5129	0	5129	0
23 7	<i>Heteranthera oblongifolia</i> Mart. ex Schult. & Schult.f.	melittophily	1	1	1	0	0	0	0	0	3	470	23	Current	117	0	0	0	117	100
23 8	<i>Heteranthera reniformis</i> Ruiz & Pav	melittophily	0	0	0	0	0	0	0	0	0	13630	1758	Current	1006	0	0	0	1006	100
23 9	<i>Heteropsis oblongifolia</i> Kunth	cantharophil y	0	0	0	0	0	0	0	0	0	730	11233	Future	372	0	0	0	372	100
24 0	<i>Heteropterys nervosa</i> A.Juss.	melittophily	0	0	0	0	1	0	0	0	1	24028	10984	Current	0	290	0	0	290	0
24 1	<i>Heteropterys trigoniifolia</i> A.Juss.	melittophily	0	0	0	0	0	0	0	0	0	55	5506	Future	0	39	0	0	39	0
24 2	<i>Hibiscus furcellatus</i> Lam.	melittophily	1	1	0	0	1	1	1	1	6	19874	67829	Future	0	227	0	0	227	0
24 3	<i>Homolepis aturensis</i> (Kunth) Chase	anemophily	0	0	0	0	0	0	0	0	0	13143	6132	Current	0	0	0	725	725	0
24 4	<i>Hyptis atrorubens</i> Poit.	melittophily	1	1	0	0	0	0	0	0	2	25141	8492	Current	733	0	0	0	733	100
24 5	<i>Hyptis brevipes</i> Poit.	melittophily	1	0	0	0	0	0	0	0	1	12863	30639	Generalist	0	0	658	0	658	0

ID	Species	Pollination syndrome	2050 - 4.5 - Maxe nt	2070 - 4.5 - Maxe nt	2050 - 8.5 - Maxe nt	2070 - 8.5 - Maxe nt	205 GL M	207 GL M	205 GL M	207 GL M	models predicti ng presenc e	y axis on graphi c (figur e 6)	x axis on graphi c (figur e 6)	Classes_CLA M	Forest_LA ND USE	Human.modified_L AND USE	Open.vegetation_L AND USE	Others_LAN D USE	total_O CC POINT	% OCC POIN T on fore st _LAN D USE
			2050 - 4.5 - Maxe nt	2070 - 4.5 - Maxe nt	2050 - 8.5 - Maxe nt	2070 - 8.5 - Maxe nt	205 GL M	207 GL M	205 GL M	207 GL M	models predicti ng presenc e	y axis on graphi c (figur e 6)	x axis on graphi c (figur e 6)	Classes_CLA M	Forest_LA ND USE	Human.modified_L AND USE	Open.vegetation_L AND USE	Others_LAN D USE	total_O CC POINT	% OCC POIN T on fore st _LAN D USE
24 6	<i>Hyptis parkeri</i> Benth.	melittophily	1	1	1	1	1	1	1	0	7	23668	63025	Generalist	0	0	111	0	111	0
24 7	<i>Hyptis recurvata</i> Poit.	melittophily	1	0	0	0	0	0	0	0	1	27766	734	Current	0	0	473	0	473	0
24 8	<i>Ichnanthus calvescens</i> (Nees ex Trin.) Döll	anemophily	1	1	0	0	1	0	0	0	3	25753	2506	Current	0	0	0	406	406	0
24 9	<i>Ichnanthus leptophyllum</i> Döll	anemophily	0	0	0	0	0	0	0	0	0	17099	10117	Current	0	0	0	12	12	0
25 0	<i>Ichthyothere terminalis</i> (Spreng.) S.F.Blake	entomophily	1	1	0	0	1	0	0	0	3	27650	25872	Generalist	491	0	0	0	491	100
25 1	<i>Inga alba</i> (Sw.) Willd.	chiropteroph ily	1	1	0	0	1	0	0	0	3	25967	17971	Generalist	0	904	0	0	904	0
25 2	<i>Inga capitata</i> Desv.	chiropteroph ily	0	0	0	0	0	0	0	0	0	20121	21108	Generalist	0	1375	0	0	1375	0
25 3	<i>Ionopsis utricularioides</i> (Sw.) Lindl.	melittophily	0	1	1	1	0	0	0	0	3	9339	17097	Generalist	0	245	0	0	245	0
25 4	<i>Ipomoea carvalhoi</i> D.F.Austin	ornithophily	0	0	0	0	0	0	0	0	0	1215	2185	Generalist	23	0	0	0	23	100
25 5	<i>Ipomoea goyazensis</i> Gardner	melittophily	1	1	1	0	1	1	1	1	7	8957	50898	Future	101	0	0	0	101	100
25 6	<i>Ipomoea hederifolia</i> L.	ornithophily	1	1	0	0	0	0	0	0	2	5762	232	Current	1476	0	0	0	1476	100
25 7	<i>Ipomoea maurandoioides</i> D.F.Austin & Secco	melittophily	0	0	0	0	0	0	0	0	0	7392	Future	104	0	0	0	104	100	
25 8	<i>Ipomoea minutiflora</i> (M.Martens & Galeotti) House	melittophily	0	0	0	0	0	0	0	0	0	500	6264	Future	239	0	0	0	239	100
25 9	<i>Ipomoea procumbens</i> Mart. ex Choisy - Zappi 3510	melittophily	0	0	0	0	0	0	0	0	0	196	0	Current	187	0	0	0	187	100
26 0	<i>Ipomoea ramosissima</i> (Poir.) Choisy	melittophily	0	0	0	0	0	0	0	0	0	14933	0	Current	381	0	0	0	381	100
26 1	<i>Ipomoea reticulata</i> O'Donnell - Sperling 5680	melittophily	0	0	0	0	0	0	0	0	0	7533	9132	Generalist	133	0	0	0	133	100
26 2	<i>Isachne polygonoides</i> (Lam.) Döll	anemophily	1	1	0	0	1	1	0	0	4	24062	44587	Generalist	0	0	132	10	142	0
26 3	<i>Jacaranda ulei</i> Bureau & K.Schum.	melittophily	1	0	0	0	0	0	0	0	1	127	2169	Future	403	0	0	0	403	100
26 4	<i>Jacquemontia tamnifolia</i> (L.) Griseb.	melittophily	1	1	0	0	1	1	1	1	6	22370	34334	Generalist	369	0	0	0	369	100
26 5	<i>Justicia divergens</i> (Nees) A.S.Reis, A.Gil & C.Kameyama	ornithophily	0	0	0	0	0	0	0	0	0	3393	2281	Generalist	16	0	0	0	16	100
26 6	<i>Justicia potamogeton</i> Lindau	ornithophily	0	0	0	0	0	0	0	0	0	4528	0	Current	14	0	0	0	14	100
26 7	<i>Justicia riedeliana</i> (Ness) V.A.W.Graham	ornithophily	0	0	0	0	0	0	0	0	0	137	0	Current	124	0	0	0	124	100
26 8	<i>Justicia sprucei</i> V.A.W.Graham	ornithophily	0	0	0	0	0	0	0	0	0	14781	8524	Current	70	0	0	0	70	100
26 9	<i>Lacistema aggregatum</i> (P.J.Bergius) Rusby	entomophily	0	0	0	0	0	0	0	0	0	24689	14043	Current	0	0	2855	0	2855	0
27 0	<i>Lacistema arborescens</i> (Müll.Arg.) Markgr.	phalaenophil y	0	0	0	0	0	0	0	0	0	11321	15700	Generalist	247	0	0	0	247	100
27 1	<i>Langsdorffia hypogaea</i> Mart.	entomophily	0	0	0	0	0	0	0	0	0	462	12138	Future	287	0	0	0	287	100
27 2	<i>Lantana hirsuta</i> M.Martens & Galeotti	psychophily	0	0	1	1	0	0	0	0	2	638	12071	Future	105	0	0	0	105	100
27 3	<i>Lasiacis ligulata</i> Hitchc. & Chase	anemophily	0	0	0	0	0	0	0	0	0	16290	1755	Current	0	0	912	0	912	0
27 4	<i>Leandra micropetala</i> (Naudin) Cong.	melittophily	0	0	0	0	0	0	0	0	0	22011	506	Current	0	0	144	0	144	0

ID	Species	Pollination syndrome	2050 - 4.5 - Maxe nt	2070 - 4.5 - Maxe nt	2050 - 8.5 - Maxe nt	2070 - 8.5 - Maxe nt	205 GL M	207 GL M	205 GL M	207 GL M	models predicti ng presenc e	y axis on graphi c (figur e 6)	x axis on graphi c (figur e 6)	Classes_CLA M	Forest_LA ND USE	Human.modified_L AND USE	Open.vegetation_L AND USE	Others_LAN D USE	total_O CC POINT	% OCC POIN T on fore st _LAN D USE
			2050 - 4.5 - Maxe nt	2070 - 4.5 - Maxe nt	2050 - 8.5 - Maxe nt	2070 - 8.5 - Maxe nt	205 GL M	207 GL M	205 GL M	207 GL M	models predicti ng presenc e	y axis on graphi c (figur e 6)	x axis on graphi c (figur e 6)	Classes_CLA M	Forest_LA ND USE	Human.modified_L AND USE	Open.vegetation_L AND USE	Others_LAN D USE	total_O CC POINT	% OCC POIN T on fore st _LAN D USE
27 5	<i>Leonotis nepetifolia</i> (L.) R.Br.	ornithophily	1	0	0	0	0	0	0	0	1	2337	22816	Future	0	0	1128	0	1128	0
27 6	<i>Lepidaploa arenaria</i> (Mart. ex DC.) H.Rob.	entomophily	1	1	1	1	1	1	1	1	8	19907	70013	Future	62	0	0	0	62	100
27 7	<i>Lepidaploa paraensis</i> (H.Rob.) H.Rob.	entomophily	0	0	0	0	0	0	0	0	0	6938	0	Current	13	0	0	0	13	100
27 8	<i>Lepidaploa remotiflora</i> (Rich.) H.Rob.	melittophily	0	0	0	0	1	0	0	0	1	7472	40	Current	1244	0	0	0	1244	100
27 9	<i>Lessingianthus monocephalus</i> (Gardner) H.Rob.	entomophily	0	0	0	0	0	0	0	0	0	9269	36395	Future	96	0	0	0	96	100
28 0	<i>Limnosipanea spruceana</i> Hook.f.	ornithophily	1	1	1	1	1	1	1	1	8	7211	96515	Future	145	0	0	0	145	100
28 1	<i>Lindernia brachyphyllea</i> Pennell	melittophily	1	1	0	0	1	1	1	0	5	13289	63810	Future	0	15	0	0	15	0
28 2	<i>Lindernia diffusa</i> (L.) Wettst.	melittophily	0	0	1	1	0	0	0	0	2	673	26807	Future	0	33	0	0	33	0
28 3	<i>Lippia grata</i> Schauer	psychophily	0	0	1	1	0	0	0	0	2	509	9279	Future	320	0	0	0	320	100
28 4	<i>Ludwigia decurrens</i> Walter	melittophily	1	1	0	0	1	1	1	0	5	23037	36233	Generalist	532	0	0	0	532	100
28 5	<i>Ludwigia erecta</i> (L.) H.Hara	melittophily	1	1	1	0	1	1	1	1	7	17080	49885	Future	673	47	0	0	720	93.47
28 6	<i>Ludwigia hyssopifolia</i> (G.Don.) Exell	melittophily	1	1	1	0	1	0	0	0	4	28056	20812	Generalist	0	719	0	0	719	0
28 7	<i>Ludwigia leptocarpa</i> (Nutt.) H.Hara	melittophily	1	1	0	0	0	0	0	0	2	16525	14821	Generalist	0	1029	0	0	1029	0
28 8	<i>Ludwigia nervosa</i> (Poir.) H.Hara	melittophily	1	1	0	0	1	1	0	0	4	22122	39910	Generalist	0	877	0	0	877	0
28 9	<i>Ludwigia octovalvis</i> (Jacq.) P.H.Raven	melittophily	1	1	0	0	0	0	0	0	2	13432	27919	Generalist	0	5101	0	0	5101	0
29 0	<i>Ludwigia torulosa</i> (Arn.) H.Hara	melittophily	1	1	1	1	0	0	0	0	4	8560	21844	Generalist	0	103	0	0	103	0
29 1	<i>Luziola peruviana</i> Iuss. ex J.F.Gmel.	anemophily	0	0	0	0	0	0	0	0	0	2	4055	Future	0	0	317	0	317	0
29 2	<i>Mabea angustifolia</i> Spruce ex Benth.	melittophily	1	1	0	0	1	1	0	0	4	25896	25016	Generalist	0	425	0	0	425	0
29 3	<i>Macairea radula</i> (Bonpl.) DC.	melittophily	0	0	0	0	0	0	0	0	0	649	232	Current	0	0	843	0	843	0
29 4	<i>Machaerium acutifolium</i> Vogel	melittophily	1	1	1	0	1	1	0	0	5	673	12215	Future	0	847	0	0	847	0
29 5	<i>Mandevilla scabra</i> (Hoffmanns. ex Roem. & Schult.) K.Schum.	psychophily	1	1	1	0	1	1	1	0	6	23301	44595	Generalist	1021	0	0	0	1021	100
29 6	<i>Mandevilla tenuifolia</i> (J.C.Mikan) Woodson	psychophily	1	0	0	0	0	0	0	0	1	1101	377	Current	833	0	0	0	833	100
29 7	<i>Mandirola rupestris</i> (Gardner) Roalson & Boggan	melittophily	0	0	0	0	0	0	0	0	0	7511	1318	Current	0	0	12	0	12	0
29 8	<i>Manihot quinquepartita</i> Huber ex D.J.Rogers & Appan	melittophily	0	0	0	0	0	0	0	0	0	18623	56	Current	0	709	0	0	709	0
29 9	<i>Margaritopsis inconspicua</i> C.M.Taylor	phalaenophil y	0	0	0	0	0	0	0	0	0	9408	9615	Generalist	57	0	0	0	57	100
30 0	<i>Marsypianthes chamaedrys</i> (Vahl) Kuntze	phalaenophil y	1	1	0	0	1	0	0	0	3	24287	4520	Current	0	0	1345	0	1345	0
30 1	<i>Matayba guianensis</i> Aubl.	entomophily	1	1	0	0	1	1	0	0	4	25453	19765	Generalist	1419	0	0	0	1419	100
30 2	<i>Matayba inelegans</i> Spruce ex Radlk.	entomophily	1	0	0	0	0	0	0	0	1	16897	27068	Generalist	376	0	0	0	376	100
30 3	<i>Matayba spruceana</i> (Benth.) Radlk.	entomophily	0	0	0	0	0	0	0	0	0	18880	39017	Generalist	61	0	0	0	61	100

ID	Species	Pollination syndrome	2050 - 4.5 - Maxe nt	2070 - 4.5 - Maxe nt	2050 - 8.5 - Maxe nt	2070 - 8.5 - Maxe nt	205 GL M	207 GL M	205 GL M	207 GL M	models predicti ng presenc e	y axis on graphi c (figur e 6)	x axis on graphi c (figur e 6)	Classes_CLA M	Forest_LA ND USE	Human.modified_L AND USE	Open.vegetation_L AND USE	Others_LAN D USE	total_O CC POINT	% OCC POIN T on fore st _LAN D USE
			2050 - 4.5 - Maxe nt	2070 - 4.5 - Maxe nt	2050 - 8.5 - Maxe nt	2070 - 8.5 - Maxe nt	205 GL M	207 GL M	205 GL M	207 GL M	models predicti ng presenc e	y axis on graphi c (figur e 6)	x axis on graphi c (figur e 6)	Classes_CLA M	Forest_LA ND USE	Human.modified_L AND USE	Open.vegetation_L AND USE	Others_LAN D USE	total_O CC POINT	% OCC POIN T on fore st _LAN D USE
304	<i>Mauritia flexuosa</i> L.f.	entomophily	1	1	1	0	1	1	1	0	6	19339	51228	Generalist	3449	0	0	0	3449	100
305	<i>Mauritiella armata</i> (Mart.) Burret	entomophily	1	0	0	0	0	0	0	0	1	6346	18838	Future	299	0	0	0	299	100
306	<i>Mayaca fluviatilis</i> Aubl.	melittophily	0	0	0	0	0	0	0	0	0	17415	1857	Current	0	0	406	0	406	0
307	<i>Mayaca kunthii</i> Seub.	melittophily	0	0	0	0	0	0	0	0	0	1799	21185	Future	0	0	14	0	14	0
308	<i>Mayaca longipes</i> Mart. ex Seub.	melittophily	1	1	1	1	0	0	0	0	4	13224	71205	Future	0	0	69	0	69	0
309	<i>Maytenus guyanensis</i> Klotzsch ex Reissek	melittophily	1	1	1	1	0	0	0	0	4	14145	35697	Generalist	267	0	0	0	267	100
310	<i>Melinis minutiflora</i> P.Beauv.	anemophily	0	0	0	0	0	0	0	0	0	8949	12908	Generalist	0	0	968	0	968	0
311	<i>Melochia arenosa</i> Benth.	melittophily	1	1	1	0	1	1	1	0	6	24506	57445	Generalist	0	200	0	0	200	0
312	<i>Melochia melissifolia</i> Benth.	melittophily	1	1	1	0	1	1	1	0	6	8626	29229	Future	0	150	0	0	150	0
313	<i>Melochia splendens</i> A.St.-Hil. & Naudin.	melittophily	0	0	0	0	0	0	0	0	0	3825	4027	Generalist	0	26	0	0	26	0
314	<i>Melothria pendula</i> L.	melittophily	1	0	0	0	0	0	0	0	1	16097	1929	Current	2165	541	0	0	2706	80.01
315	<i>Mendoncia aspera</i> Ruiz & Pav.	ornithophily	0	0	0	0	0	0	0	0	0	585	0	Current	400	0	0	0	400	100
316	<i>Mesosetum annuum</i> Swallen	anemophily	1	1	0	0	0	0	0	0	2	8167	13689	Generalist	0	0	65	0	65	0
317	<i>Mesosetum cayennense</i> Steud.	anemophily	1	1	1	0	1	1	1	1	7	26245	75008	Future	0	0	131	0	131	0
318	<i>Mesosetum filiforme</i> F.T.Hubb.	anemophily	0	0	1	0	0	0	0	0	1	6130	35541	Future	0	0	69	0	69	0
319	<i>Mesospaerum pectinatum</i> (L.) Kuntze	melittophily	1	0	0	0	0	0	0	0	1	9690	121	Current	0	0	932	0	932	0
320	<i>Mesospaerum suaveolens</i> (L.) Kuntze	melittophily	1	1	0	0	1	1	1	1	6	17826	18553	Generalist	965	0	682	0	1647	58.59
321	<i>Miconia affinis</i> DC.	melittophily	0	0	0	0	0	0	0	0	0	23089	5625	Current	0	0	3758	0	3758	0
322	<i>Miconia alata</i> (Aubl.) DC.	melittophily	1	1	1	0	0	0	0	0	3	20922	9537	Current	0	0	290	0	290	0
323	<i>Miconia albicans</i> (Sw.) Steud.	melittophily	1	0	0	0	0	0	0	0	1	21252	718	Current	0	0	3238	0	3238	0
324	<i>Miconia alternans</i> Naudin	melittophily	0	0	0	0	0	0	0	0	0	10023	451	Current	0	0	92	0	92	0
325	<i>Miconia bracteata</i> (DC.) Triana	melittophily	0	0	0	0	0	0	0	0	0	5474	3519	Current	0	0	202	0	202	0
326	<i>Miconia chrysophylla</i> (Rich.) Urb.	melittophily	0	0	0	0	1	0	0	0	1	23906	38114	Generalist	0	0	410	0	410	0
327	<i>Miconia ciliata</i> (Rich.) DC.	melittophily	0	0	0	0	0	0	0	0	0	21522	930	Current	0	0	1650	0	1650	0
328	<i>Miconia cuspidata</i> Mart. ex Naudin	melittophily	0	0	0	0	0	0	0	0	0	25143	4222	Current	0	0	216	0	216	0
329	<i>Miconia elata</i> (Sw.) DC.	melittophily	0	0	1	1	0	0	0	0	2	3878	4496	Generalist	0	0	432	0	432	0
330	<i>Miconia heliotropoides</i> Triana	melittophily	0	0	0	0	0	0	0	0	0	12315	29003	Generalist	0	0	118	0	118	0
331	<i>Miconia holosericea</i> (L.) DC.	melittophily	1	0	0	0	1	1	0	0	3	21718	24537	Generalist	0	0	896	0	896	0
332	<i>Miconia ibaguensis</i> (Bonpl.) Triana	melittophily	0	0	0	0	0	0	0	0	0	14274	3861	Current	0	0	1056	0	1056	0

ID	Species	Pollination syndrome	2050 - 4.5 - Maxe nt	2070 - 4.5 - Maxe nt	2050 - 8.5 - Maxe nt	2070 - 8.5 - Maxe nt	205 GL M	207 GL M	205 GL M	207 GL M	models predicti ng presenc e	y axis on graphi c (figur e 6)	x axis on graphi c (figur e 6)	Classes_CLA M	Forest_LA ND USE	Human.modified_L AND USE	Open.vegetation_L AND USE	Others_LAN D USE	total_O CC POINT	% OCC POIN T on fore st _LAN D USE
			2050 - 4.5 - Maxe nt	2070 - 4.5 - Maxe nt	2050 - 8.5 - Maxe nt	2070 - 8.5 - Maxe nt	205 GL M	207 GL M	205 GL M	207 GL M	models predicti ng presenc e	y axis on graphi c (figur e 6)	x axis on graphi c (figur e 6)	Classes_CLA M	Forest_LA ND USE	Human.modified_L AND USE	Open.vegetation_L AND USE	Others_LAN D USE	total_O CC POINT	% OCC POIN T on fore st _LAN D USE
33 3	<i>Miconia lepidota</i> DC.	melittophily	0	0	0	0	1	0	0	0	1	21767	25170	Generalist	0	0	456	0	456	0
33 4	<i>Miconia manauara</i> R.Goldenb., Caddah & Michelang.	melittophily	0	0	0	0	1	1	1	1	4	10304	69667	Future	0	0	29	0	29	0
33 5	<i>Miconia minutiflora</i> (Bonpl.) DC.	melittophily	1	0	0	0	0	0	0	0	1	25903	3999	Current	0	0	3557	0	3557	0
33 6	<i>Miconia nervosa</i> (Sm.) Triana	melittophily	0	0	0	0	0	0	0	0	0	21447	1164	Current	0	0	2387	0	2387	0
33 7	<i>Miconia prasina</i> (Sw.) DC.	melittophily	1	0	0	0	0	0	0	0	1	20958	14076	Current	0	0	2701	0	2701	0
33 8	<i>Miconia splendens</i> (Sw.) Griseb.	melittophily	1	0	0	0	1	0	0	0	2	21470	44658	Generalist	0	0	962	0	962	0
33 9	<i>Miconia tomentosa</i> (Rich.) D.Don ex DC.	melittophily	0	0	0	0	1	0	0	0	1	23204	36005	Generalist	0	0	1107	0	1107	0
34 0	<i>Mikania psilostachya</i> DC.	melittophily	1	0	0	0	0	0	0	0	1	27547	4797	Current	1162	0	0	0	1162	100
34 1	<i>Mimosa piresii</i> Barneby	melittophily	0	0	0	0	0	0	0	0	0	8452	6871	Generalist	0	23	0	0	23	0
34 2	<i>Mollinedia ovata</i> Ruiz & Pav.	melittophily	0	0	0	0	0	0	0	0	0	1450	243	Current	842	0	0	0	842	100
34 3	<i>Monotagma plurispicatum</i> (Körn.) Schum.	melittophily	0	0	0	0	1	0	0	0	1	25621	14782	Current	0	0	570	0	570	0
34 4	<i>Mouriri vernicosa</i> Naudin	melittophily	0	0	0	0	1	1	1	1	4	25084	74967	Future	0	0	149	0	149	0
34 5	<i>Myrcia amazonica</i> DC.	melittophily	1	1	0	0	0	0	0	0	2	23065	8263	Current	0	0	868	0	868	0
34 6	<i>Myrcia bracteata</i> (Rich.) DC.	melittophily	0	0	0	0	0	0	0	0	0	26844	10597	Current	0	0	679	0	679	0
34 7	<i>Myrcia clusiifolia</i> (Kunth) DC.	melittophily	0	0	0	0	0	0	0	0	0	5188	16035	Future	0	0	137	0	137	0
34 8	<i>Myrcia cuprea</i> (O.Berg) Klaersk.	melittophily	0	0	0	0	0	0	0	0	0	13275	14197	Generalist	0	0	189	0	189	0
34 9	<i>Myrcia grandis</i> McVaugh	melittophily	1	1	1	0	0	0	0	0	3	8603	26650	Future	0	0	190	0	190	0
35 0	<i>Myrcia guianensis</i> (Aubl.) DC.	melittophily	1	1	0	0	1	1	0	0	4	14383	10299	Generalist	0	0	4294	0	4294	0
35 1	<i>Myrcia inaequiloba</i> (DC.) Lemée	melittophily	1	1	1	0	0	0	0	0	3	15585	14363	Generalist	0	0	357	0	357	0
35 2	<i>Myrcia multiflora</i> (Lam.) DC.	melittophily	0	0	0	0	1	0	0	0	1	14835	3487	Current	0	0	1682	0	1682	0
35 3	<i>Myrcia paivae</i> O.Berg	melittophily	0	0	0	0	0	0	0	0	0	24716	13981	Current	0	0	527	0	527	0
35 4	<i>Myrcia splendens</i> (Sw.) DC.	melittophily	1	0	0	0	0	0	0	0	1	26674	29278	Generalist	6316	0	5322	0	11638	54.27
35 5	<i>Myrcia subsessilis</i> O.Berg	melittophily	1	1	1	1	1	1	1	0	7	14630	55571	Future	272	0	0	0	272	100
35 6	<i>Myrcia sylvatica</i> (G.Mey.) DC.	melittophily	0	1	0	0	0	0	0	0	1	20594	4921	Current	1431	0	0	0	1431	100
35 7	<i>Myrcia tomentosa</i> (Aubl.) DC.	melittophily	0	0	0	0	0	0	0	0	0	6494	2575	Current	2038	0	0	0	2038	100
35 8	<i>Myrciaria floribunda</i> (H.Westex Willd.) O.Berg	melittophily	1	1	0	0	1	1	0	0	4	21703	7254	Current	2057	0	0	0	2057	100
35 9	<i>Neea floribunda</i> Poepp. & Endl.	entomophily	0	0	0	0	0	0	0	0	0	12405	17978	Generalist	326	0	0	0	326	100
36 0	<i>Neea macrophylla</i> Poepp. & Endl.	entomophily	0	1	1	1	0	0	0	0	3	2047	20720	Future	202	0	0	0	202	100
36 1	<i>Neea oppositifolia</i> Ruiz & Pav.	entomophily	1	1	1	0	1	1	0	0	5	21557	6428	Current	114	0	0	0	114	100

ID	Species	Pollination syndrome	2050 - 4.5 - Maxe nt	2070 - 4.5 - Maxe nt	2050 - 8.5 - Maxe nt	2070 - 8.5 - Maxe nt	205 GL M	207 GL M	205 GL M	207 GL M	models predicti ng presenc e	y axis on graphi c (figur e 6)	x axis on graphi c (figur e 6)	Classes_CLA M	Forest_LA ND USE	Human.modified_L AND USE	Open.vegetation_L AND USE	Others_LAN D USE	total_O CC POINT	% OCC POIN T on fore st _LAN D USE
			2050 - 4.5 - Maxe nt	2070 - 4.5 - Maxe nt	2050 - 8.5 - Maxe nt	2070 - 8.5 - Maxe nt	205 GL M	207 GL M	205 GL M	207 GL M	models predicti ng presenc e	y axis on graphi c (figur e 6)	x axis on graphi c (figur e 6)	Classes_CLA M	Forest_LA ND USE	Human.modified_L AND USE	Open.vegetation_L AND USE	Others_LAN D USE	total_O CC POINT	% OCC POIN T on fore st _LAN D USE
36 2	<i>Nepsera aquatica</i> (Aubl.) Naudin	melittophily	0	0	0	0	0	0	0	0	0	11793	1370	Current	0	0	699	0	699	0
36 3	<i>Niedenzuella acutifolia</i> (Cav.) W.R.Anderson	melittophily	0	0	0	0	0	0	0	0	0	195	258	Generalist	0	322	0	0	322	0
36 4	<i>Noranthea guianensis</i> Aubl.	ornithophily	1	0	0	0	1	1	0	0	3	27757	9758	Current	0	0	636	0	636	0
36 5	<i>Notylia barkeri</i> Lindl.	melittophily	0	0	0	0	0	0	0	0	0	435	3368	Future	0	155	0	0	155	0
36 6	<i>Notylia lyrata</i> S.Moore	melittophily	0	0	0	0	0	0	0	0	0	0	205	Future	0	23	0	0	23	0
36 7	<i>Nymphaea rudgeana</i> G.Mey.	cantharophil y	0	0	0	0	0	0	0	0	0	18273	3846	Current	128	0	0	0	128	100
36 8	<i>Ocotea camphoromoea</i> Rohwer	melittophily	0	0	0	0	0	0	0	0	0	23940	12333	Current	641	0	0	0	641	100
36 9	<i>Ocotea leucoxylon</i> (Sw.) Laness.	melittophily	0	0	0	0	0	0	0	0	0	4977	0	Current	694	0	0	0	694	100
37 0	<i>Ocotea puberula</i> (Rich.) Nees	melittophily	0	0	0	0	0	0	0	0	0	3663	3340	Generalist	1210	0	0	0	1210	100
37 1	<i>Odontadenia nitida</i> (Vahl) Müll.Arg.	phalaenophil y	1	1	0	0	1	1	0	0	4	22071	43555	Generalist	191	0	0	0	191	100
37 2	<i>Oenocarpus distichus</i> Mart.	entomophily	1	1	1	1	0	0	0	0	4	20618	38474	Generalist	52	0	0	0	52	100
37 3	<i>Olyra latifolia</i> L.	anemophily	1	0	0	0	0	0	0	0	1	23476	277	Current	0	0	3011	0	3011	0
37 4	<i>Operculina hamiltonii</i> (G.Don) D.F.Austin & Staples	melittophily	1	1	0	0	1	0	0	0	3	21471	7863	Current	159	0	0	0	159	100
37 5	<i>Oryctanthus alveolatus</i> (Kunth) Kuijt	entomophily	0	0	0	0	0	0	0	0	0	22277	38240	Generalist	0	703	0	0	703	0
37 6	<i>Oryctanthus florulentus</i> (Rich.) Tiegh.	entomophily	1	1	1	1	1	0	0	0	5	13277	63356	Future	0	373	0	0	373	0
37 7	<i>Otachyrium versicolor</i> (Döll) Henrard	anemophily	1	1	1	1	1	1	1	0	7	3527	39553	Future	0	0	299	0	299	0
37 8	<i>Ouratea castaneifolia</i> (DC.) Engl.	melittophily	1	1	1	1	1	1	1	0	7	21495	46021	Generalist	566	0	0	0	566	100
37 9	<i>Ouratea racemiformis</i> Ule	melittophily	0	0	0	0	0	0	0	0	0	20934	33115	Generalist	20	0	0	0	20	100
38 0	<i>Oxalis barrelieri</i> L.	melittophily	0	0	0	0	0	0	0	0	0	15846	0	Current	0	343	0	0	343	0
38 1	<i>Paepalanthus fasciculoides</i> Hensold	anemophily	0	0	0	0	1	1	1	1	4	14315	47044	Future	0	9	0	0	9	0
38 2	<i>Palicourea deflexa</i> (DC.) Borhidi	ornithophily	0	0	0	0	0	0	0	0	0	19592	464	Current	2011	0	0	0	2011	100
38 3	<i>Palicourea guianensis</i> Aubl.	ornithophily	0	0	0	0	0	0	0	0	0	24552	1221	Current	2515	0	0	0	2515	100
38 4	<i>Palicourea marcgravii</i> A.St.-Hil.	ornithophily	1	0	0	0	0	0	0	0	1	10863	579	Current	1285	0	0	0	1285	100
38 5	<i>Palicourea racemosa</i> (Aubl.) Borhidi	ornithophily	0	0	0	0	0	0	0	0	0	25915	2288	Current	1923	0	0	0	1923	100
38 6	<i>Panicum millegiana</i> Poir.	anemophily	0	0	0	0	0	0	0	0	0	7050	13180	Generalist	0	0	491	0	491	0
38 7	<i>Paratheria prostrata</i> Griseb.	anemophily	1	1	1	1	1	1	1	1	8	1962	73480	Future	0	0	43	0	43	0
38 8	<i>Parkia platycephala</i> Benth.	chiropteroph ily	1	1	1	0	1	0	0	0	4	5565	8175	Generalist	0	227	0	0	227	0
38 9	<i>Parodiolyra micrantha</i> (Kunth) Davidse & Zuloaga	anemophily	1	0	0	0	1	1	0	0	3	18569	7854	Current	0	262	688	0	950	0
39 0	<i>Paspalum cinerascens</i> (Döll) A.G.Burm. & M.Bastos	anemophily	0	0	0	0	0	0	0	0	0	7604	1	Current	0	62	0	0	62	0

ID	Species	Pollination syndrome	2050 - 4.5 - Maxe nt	2070 - 4.5 - Maxe nt	2050 - 8.5 - Maxe nt	2070 - 8.5 - Maxe nt	205 GL M	207 GL M	205 GL M	207 GL M	models predicti ng presenc e	y axis on graphi c (figur e 6)	x axis on graphi c (figur e 6)	Classes_CLA M	Forest_LA ND USE	Human.modified_L AND USE	Open.vegetation_L AND USE	Others_LAN D USE	total_O CC POINT	% OCC POIN T on fore st _LAN D USE
			2050 - 4.5 - Maxe nt	2070 - 4.5 - Maxe nt	2050 - 8.5 - Maxe nt	2070 - 8.5 - Maxe nt	205 GL M	207 GL M	205 GL M	207 GL M	models predicti ng presenc e	y axis on graphi c (figur e 6)	x axis on graphi c (figur e 6)	Classes_CLA M	Forest_LA ND USE	Human.modified_L AND USE	Open.vegetation_L AND USE	Others_LAN D USE	total_O CC POINT	% OCC POIN T on fore st _LAN D USE
39 1	Paspalum densum Poir.	anemophily	1	0	0	0	1	1	0	0	3	17817	6136	Current	75	28	0	0	103	72.82
39 2	Paspalum expansum Döll	anemophily	0	0	0	0	0	0	0	0	0	2536	15036	Future	21	0	0	0	21	100
39 3	Paspalum gardnerianum Nees	anemophily	1	1	1	0	1	1	0	0	5	10073	35919	Future	514	0	0	0	514	100
39 4	Paspalum lanciflorum Trin.	anemophily	1	1	1	1	1	1	0	0	6	21448	23110	Generalist	224	0	0	0	224	100
39 5	Paspalum melanospermum Desv. ex Poir.	anemophily	1	1	0	0	0	0	0	0	2	18490	8855	Current	254	0	0	0	254	100
39 6	Paspalum multicaule Poir.	anemophily	1	1	0	0	1	1	0	0	4	24516	1666	Current	360	0	0	0	360	100
39 7	Paspalum pallens Swallen	anemophily	0	0	0	0	0	0	0	0	0	223	6596	Future	25	0	0	0	25	100
39 8	Paspalum paniculatum L.	anemophily	1	0	0	0	0	0	0	0	1	13499	8022	Current	1037	0	0	0	1037	100
39 9	Paspalum parviflorum Rhode ex Flüggé	anemophily	1	1	0	0	1	0	0	0	3	27406	39027	Generalist	56	0	0	0	56	100
40 0	Paspalum reticulinerve Renvoize	anemophily	0	0	0	0	0	0	0	0	0	6254	11977	Generalist	15	0	0	0	15	100
40 1	Paspalum virgatum L.	anemophily	1	0	0	0	0	0	0	0	1	18119	31077	Generalist	899	0	0	0	899	100
40 2	Passiflora ceratocarpa F.Silveira	melittophily	1	1	0	0	1	1	1	1	6	14819	66690	Future	0	11	0	0	11	0
40 3	Passiflora foetida L. - Harley 57373	melittophily	1	1	0	0	0	0	0	0	2	14855	3570	Current	0	4164	0	0	4164	0
40 4	Passiflora glandulosa Cav.	ornithophily	0	0	0	0	0	0	0	0	0	16552	2103	Current	0	356	0	0	356	0
40 5	Passiflora tholozanii Sacco	ornithophily	0	0	0	0	1	1	1	1	4	21339	85162	Future	0	23	0	0	23	0
40 6	Passovia disjectifolia (Rizzini) Kuijt	entomophily	1	1	1	1	0	0	0	0	4	12028	56925	Future	0	14	0	0	14	0
40 7	Passovia pedunculata (Jacq.) Kuijt	melittophily	1	0	0	0	1	1	1	0	4	26760	53631	Generalist	0	103	0	0	103	0
40 8	Passovia pyrifolia (Kunth) Tiegh.	entomophily	0	0	0	0	0	0	0	0	0	21716	1429	Current	0	1179	0	0	1179	0
40 9	Pavonia malacophylla (Link & Otto) Gärcke	melittophily	0	0	0	0	0	0	0	0	0	1818	19	Current	0	468	0	0	468	0
41 0	Peixotoa reticulata Griseb.	melittophily	0	0	0	0	0	0	0	0	0	137	106	Generalist	0	282	0	0	282	0
41 1	Peperomia circinnata Link	anemophily	0	0	0	0	1	0	0	0	1	11850	1093	Current	0	244	0	0	244	0
41 2	Peperomia macrostachya (Vahl) A.Dietr	anemophily	0	0	0	0	0	0	0	0	0	20466	2227	Current	0	609	0	0	609	0
41 3	Peperomia magnoliifolia (Jacq.) A.Dietr.	anemophily	1	0	0	0	0	0	0	0	1	16493	3951	Current	0	485	0	0	485	0
41 4	Peperomia obtusifolia (L.) A.Dietr.	anemophily	0	0	0	0	0	0	0	0	0	10879	30819	Generalist	0	1471	0	0	1471	0
41 5	Peperomia uaupensis Yunck.	anemophily	1	1	1	1	0	0	0	0	4	17597	49850	Future	0	26	0	0	26	0
41 6	Perama carajensis J.H.Kirkbr.	melittophily	0	0	0	0	0	0	0	0	0	6339	962	Current	8	0	0	0	8	100
41 7	Periandra coccinea (Schrad.) Benth.	ornithophily	1	1	1	0	0	0	0	0	3	3044	2476	Generalist	0	535	0	0	535	0
41 8	Periandra mediterranea (Vell.) Taub.	melittophily	1	1	0	0	0	0	0	0	2	1873	4148	Generalist	0	1368	0	0	1368	0
41 9	Peristethium reticulatum (Rizzini) Caires	entomophily	0	0	0	0	0	0	0	0	0	15752	3473	Current	0	12	0	0	12	0

ID	Species	Pollination syndrome	2050 - 4.5 - Maxe nt	2070 - 4.5 - Maxe nt	2050 - 8.5 - Maxe nt	2070 - 8.5 - Maxe nt	205 GL M	207 GL M	205 GL M	207 GL M	models predicti ng presenc e	Y axis on graphi c (figur e 6)	X axis on graphi c (figur e 6)	Classes_CLA M	Forest_LA ND USE	Human.modified_L AND USE	Open.vegetation_L AND USE	Others_LAN D USE	total_O CC POINT	% OCC POIN T on fore st _LAN D USE
			2050 - 4.5 - Maxe nt	2070 - 4.5 - Maxe nt	2050 - 8.5 - Maxe nt	2070 - 8.5 - Maxe nt	205 GL M	207 GL M	205 GL M	207 GL M	models predicti ng presenc e	Y axis on graphi c (figur e 6)	X axis on graphi c (figur e 6)	Classes_CLA M	Forest_LA ND USE	Human.modified_L AND USE	Open.vegetation_L AND USE	Others_LAN D USE	total_O CC POINT	% OCC POIN T on fore st _LAN D USE
420	<i>Philodendron blanchetianum</i> Schott - Vasconcelos 764	cantharophil y	0	0	0	0	0	0	0	0	0	358	15550	Future	53	0	0	0	53	100
421	<i>Philodendron distantilobum</i> K.Krause	cantharophil y	1	0	0	0	0	0	0	0	1	22399	53847	Generalist	69	0	0	0	69	100
422	<i>Philodendron salmoense</i> A.C.Sm.	cantharophil y	0	0	0	0	0	0	0	0	0	14203	33815	Generalist	207	0	0	0	207	100
423	<i>Philodendron wullschlaegelii</i> Schott	cantharophil y	0	0	0	0	0	0	0	0	0	4513	16513	Future	66	0	0	0	66	100
424	<i>Phoradendron crassifolium</i> (Pohl ex DC.) Eichler	melittophily	0	0	0	0	0	0	0	0	0	22554	18	Current	1627	0	0	0	1627	100
425	<i>Phoradendron dipterum</i> Eichler	melittophily	0	0	0	0	0	0	0	0	0	2618	6861	Generalist	186	0	0	0	186	100
426	<i>Phoradendron mucronatum</i> (DC.) Krug & Urb.	melittophily	1	1	1	0	1	1	1	0	6	9156	17140	Generalist	469	0	0	0	469	100
427	<i>Phoradendron obtusissimum</i> (Miq.) Eichler	melittophily	1	1	0	0	1	1	0	0	4	19542	4669	Current	203	0	0	0	203	100
428	<i>Phoradendron piperoides</i> (Kunth) Trel.	melittophily	0	0	0	0	0	0	0	0	0	20716	1712	Current	1330	0	0	0	1330	100
429	<i>Phoradendron quadrangulare</i> (Kunth) Griseb.	melittophily	1	1	0	0	0	0	0	0	2	7333	3417	Current	1485	0	0	0	1485	100
430	<i>Phoradendron tunaeforme</i> (DC.) Eichler	melittophily	0	0	0	0	0	0	0	0	0	485	21747	Future	76	0	0	0	76	100
431	<i>Phyllanthus hyssopifolioides</i> Kunth	melittophily	1	1	1	1	0	0	0	0	4	8440	83596	Future	0	63	0	0	63	0
432	<i>Phyllanthus minutulus</i> Müll.Arg.	melittophily	1	1	1	0	1	1	1	1	7	24809	83342	Future	0	46	0	0	46	0
433	<i>Phyllanthus orbiculatus</i> Rich.	melittophily	0	0	0	0	1	1	1	0	3	15310	9410	Current	0	421	0	0	421	0
434	<i>Phyllanthus stipulatus</i> (Raf.) G.L.Webster	entomophily	1	0	0	0	1	1	0	0	3	26355	31735	Generalist	0	587	0	0	587	0
435	<i>Physalis angulata</i> L.	melittophily	1	1	1	0	1	1	1	0	6	21904	13072	Current	1045	0	0	0	1045	100
436	<i>Pilocarpus carajaensis</i> Skorupa	entomophily	0	0	0	0	0	0	0	0	0	8260	1817	Current	21	0	0	0	21	100
437	<i>Pilocarpus microphyllus</i> Stapf ex Wardleworth	entomophily	0	0	0	0	0	0	0	0	0	11125	8273	Generalist	9	0	0	0	9	100
438	<i>Piper aduncum</i> L.	anemophily	0	0	0	0	0	0	0	0	0	16065	0	Current	806	1460	2108	0	4374	18.43
439	<i>Piper aequale</i> Vahl	anemophily	0	0	0	0	0	0	0	0	0	11026	0	Current	0	0	1371	0	1371	0
440	<i>Piper aleyreanum</i> C.DC.	anemophily	0	0	0	0	0	0	0	0	0	13094	5865	Current	0	0	91	0	91	0
441	<i>Piper carniconnectivum</i> C.DC.	anemophily	0	0	0	0	0	0	0	0	0	13601	33043	Generalist	0	0	43	0	43	0
442	<i>Piper demeraranum</i> (Miq.) C.DC.	anemophily	1	1	1	1	0	0	0	0	4	19903	30734	Generalist	0	0	507	0	507	0
443	<i>Piper kegelianum</i> (Miq.) C.DC.	anemophily	0	0	0	0	0	0	0	0	0	14183	6406	Current	0	0	13	0	13	0
444	<i>Piper krukovii</i> Yunck.	anemophily	0	0	0	0	0	0	0	0	0	15303	1385	Current	0	0	32	0	32	0
445	<i>Piper nematanthera</i> C.DC.	anemophily	0	0	0	0	0	0	0	0	0	24696	25827	Generalist	0	0	26	0	26	0
446	<i>Piper obliquum</i> Ruiz & Pav.	anemophily	0	0	0	0	0	0	0	0	0	13881	0	Current	0	0	1089	0	1089	0
447	<i>Piper pellitum</i> C.DC.	anemophily	0	0	0	0	0	0	0	0	0	2925	0	Current	0	0	92	0	92	0
448	<i>Pleonotoma melioides</i> (S.Moore) A.H.Gentry	melittophily	0	0	0	0	1	0	0	0	1	5056	2360	Current	193	0	0	0	193	100

ID	Species	Pollination syndrome	2050 - 4.5 - Maxe nt	2070 - 4.5 - Maxe nt	2050 - 8.5 - Maxe nt	2070 - 8.5 - Maxe nt	205 - 4.5	207 - 4.5	205 - 8.5	207 - 8.5	models predicti ng presenc e	y axis on graphi c (figur e 6)	x axis on graphi c (figur e 6)	Classes_CLA M	Forest_LA ND USE	Human.modified_L AND USE	Open.vegetation_L AND USE	Others_LAN D USE	total_O CC POINT	% OCC POIN T on fore st _LAN D USE
			2050 - 4.5 - Maxe nt	2070 - 4.5 - Maxe nt	2050 - 8.5 - Maxe nt	2070 - 8.5 - Maxe nt	GL M	GL M	GL M	GL M	Y axis on graphi c (figur e 6)	X axis on graphi c (figur e 6)	Classes_CLA M	Forest_LA ND USE	Human.modified_L AND USE	Open.vegetation_L AND USE	Others_LAN D USE	total_O CC POINT	% OCC POIN T on fore st _LAN D USE	
449	Pleonotoma orientalis Sandwith	melittophily	0	0	0	0	0	0	0	0	8819	4137	Current	26	0	0	0	26	100	
450	Pleroma stenocarpum Triana	melittophily	0	0	0	0	0	0	0	0	2	0	rare	0	0	630	0	630	0	
451	Pluchea sagittalis (Lam.) Cabrera	melittophily	0	0	0	0	0	0	0	0	66	10607	Future	652	0	0	0	652	100	
452	Polygala adenophora DC.	melittophily	1	1	1	1	1	1	0	0	6	24191	23238	Generalist	396	0	0	0	396	100
453	Polystachya concreta (Jacq.) Garay & H.R.Sweet	melittophily	0	0	0	0	0	0	0	0	11935	22	Current	0	363	0	0	363	0	
454	Porophyllum ruderale (Jacq.) Cass.	melittophily	0	0	0	0	0	0	0	0	15273	6384	Current	1310	0	0	0	1310	100	
455	Portulaca sedifolia N.E.Br.	melittophily	0	0	0	0	1	1	1	1	4	16462	53114	Future	32	0	0	0	32	100
456	Pouteria ramiflora (Mart.) Radlk.	entomophily	0	0	0	0	1	1	0	0	2	5688	16479	Future	1133	0	0	0	1133	100
457	Praxelis asperulacea (Baker) R.M.King & H.Rob.	entomophily	0	0	1	1	0	0	0	0	2	16100	21273	Generalist	103	0	0	0	103	100
458	Prestonia ornata (Hoehne) J.F.Morales	phalaenophil y	0	0	0	0	0	0	0	0	6313	9894	Generalist	73	0	0	0	73	100	
459	Prestonia quinquangularis (Jacq.) Spreng.	ornithophily	1	0	0	0	1	1	1	0	4	25345	31242	Generalist	408	0	0	0	408	100
460	Prosthechea fragrans (Sw.) W.E.Higgins	melittophily	0	0	0	0	0	0	0	0	17712	205	Current	0	338	0	0	338	0	
461	Protium pilosissimum Engl.	melittophily	1	0	0	0	1	0	0	0	2	24667	22320	Generalist	185	0	0	0	185	100
462	Pseudobombax longiflorum (Mart.) A.Robyns	chiropteroph ily	0	0	0	0	0	0	0	0	1689	303	Current	0	189	0	0	189	0	
463	Pseudobombax marginatum (A.St.-Hil., Juss. & Cambess.) A.Robyns	chiropteroph ily	0	0	0	0	0	0	0	0	931	2457	Generalist	0	277	0	0	277	0	
464	Psittacanthus eucalyptifolius (Kunth) G.Don	entomophily	1	1	1	0	1	0	0	0	4	26392	30255	Generalist	0	126	0	0	126	0
465	Psychotria appendiculata Müll.Arg.	melittophily	0	0	0	0	0	0	0	0	0	1284	Future	41	0	0	0	41	100	
466	Psychotria carthagensis Jacq.	melittophily	1	1	0	0	0	0	0	0	2	11646	1576	Current	3785	0	0	0	3785	100
467	Psychotria colorata (Willd. ex Schult.) Müll.Arg.	psychophily	1	1	0	0	1	0	0	0	3	28073	8072	Current	712	0	0	0	712	100
468	Psychotria iodotricha Müll.Arg	entomophily	0	0	0	0	1	0	0	0	1	22133	3108	Current	434	0	0	0	434	100
469	Psychotria lupulina Benth.	entomophily	1	0	0	0	1	1	1	0	4	22179	50218	Generalist	1053	0	0	0	1053	100
470	Psychotria pruinifolia (Kunth) Steyermark	melittophily	0	0	0	0	1	0	0	0	1	8234	10706	Generalist	329	0	0	0	329	100
471	Pterocalylon alopecuroides (Lam.) DC.	melittophily	0	0	0	0	0	0	0	0	0	65	59	Generalist	482	0	0	0	482	100
472	Pterolepis trichotoma (Rottb.) Cogn.	melittophily	1	1	0	0	1	1	1	0	5	20045	7976	Current	0	0	445	0	445	0
473	Qualea multiflora Mart.	melittophily	0	0	0	0	0	0	0	0	0	1716	3128	Generalist	1115	0	0	0	1115	100
474	Qualea parviflora Mart.	melittophily	1	1	0	0	1	0	0	0	3	3216	24668	Future	1601	0	0	0	1601	100
475	Remijia amazonica K.Schum.	phalaenophil y	0	0	0	0	0	0	0	0	0	19990	32045	Generalist	127	0	0	0	127	100
476	Rhynchanthera hispida Naudin	melittophily	1	1	1	0	0	0	0	0	3	15398	3233	Current	0	0	76	0	76	0
477	Rhynchospora acanthoma A.C.Araújo & Longhi-Wagner	anemophily	0	0	0	0	0	0	0	0	0	4767	12715	Generalist	0	18	0	0	18	0

ID	Species	Pollination syndrome	2050 - 4.5 - Maxe nt	2070 - 4.5 - Maxe nt	2050 - 8.5 - Maxe nt	2070 - 8.5 - Maxe nt	205 GL M	207 GL M	205 GL M	207 GL M	models predicti ng presenc e	y axis on graphi c (figur e 6)	x axis on graphi c (figur e 6)	Classes_CLA M	Forest_LA ND USE	Human.modified_L AND USE	Open.vegetation_L AND USE	Others_LAN D USE	total_O CC POINT	% OCC POIN T on fore st _LAN D USE
			2050 - 4.5 - Maxe nt	2070 - 4.5 - Maxe nt	2050 - 8.5 - Maxe nt	2070 - 8.5 - Maxe nt	205 GL M	207 GL M	205 GL M	207 GL M	models predicti ng presenc e	y axis on graphi c (figur e 6)	x axis on graphi c (figur e 6)	Classes_CLA M	Forest_LA ND USE	Human.modified_L AND USE	Open.vegetation_L AND USE	Others_LAN D USE	total_O CC POINT	% OCC POIN T on fore st _LAN D USE
478	Rhynchospora barbata (Vahl) Kunth	anemophily	1	1	1	0	1	1	1	0	6	25315	77271	Future	490	78	468	0	1036	47.3
479	Rhynchospora candida (Nees) Boeckeler	anemophily	0	0	0	0	0	0	0	0	0	16932	32150	Generalist	28	0	0	0	28	100
480	Rhynchospora corymbosa (L.) Britton	anemophily	0	0	0	0	0	0	0	0	0	5186	6821	Generalist	1254	8	0	0	1262	99.37
481	Rhynchospora divaricata (Ham.) M.T.Strong	anemophily	1	0	0	0	1	1	1	1	5	7868	47894	Future	0	56	0	0	56	0
482	Rhynchospora eximia (Nees) Boeckeler	anemophily	1	1	0	0	0	0	1	0	3	1233	3970	Future	0	104	0	0	104	0
483	Rhynchospora filiformis Vahl	anemophily	1	1	0	0	1	1	0	0	4	23873	11732	Current	0	278	0	0	278	0
484	Rhynchospora holoschoenoides (Rich.) Herter	anemophily	1	1	0	0	1	1	1	0	5	18583	10972	Current	0	1200	0	0	1200	0
485	Rhynchospora pubera (Vahl) Boeckeler	anemophily	1	0	0	0	0	0	0	0	1	25700	15800	Current	0	317	0	0	317	0
486	Rhynchospora rugosa (Vahl) Gale	anemophily	0	0	0	0	0	0	0	0	0	13779	13320	Generalist	0	1026	0	0	1026	0
487	Rhytachne gonzalezii Davidse	anemophily	0	0	1	1	1	1	1	1	6	2315	50422	Future	7	0	0	0	7	100
488	Richardia scabra L.	entomophily	1	1	0	0	0	0	0	0	2	19065	1137	Current	1111	0	0	0	1111	100
489	Riencourtia pedunculosa (Rich.) Pruski	melittophily	0	0	0	0	0	0	0	0	0	13896	27846	Generalist	66	0	0	0	66	100
490	Rolandra fruticosa (L.) Kuntze	melittophily	1	1	1	1	0	0	0	0	4	14027	44918	Future	315	0	0	0	315	100
491	Rourea doniana Baker	melittophily	1	1	1	1	0	0	0	0	4	15728	29522	Generalist	98	0	0	0	98	100
492	Rourea ligulata Baker	entomophily	0	0	0	0	1	1	1	1	4	16182	73424	Future	42	0	0	0	42	100
493	Rudgea longiflora Benth.	phalaenophil y	0	0	0	0	0	0	0	0	0	4895	6502	Generalist	111	0	0	0	111	100
494	Sabicea grisea Cham. & Schtdl.	phalaenophil y	0	0	0	0	0	0	0	0	0	581	7837	Future	209	0	0	0	209	100
495	Sacciolepis myuros (Lam.) Chase	anemophily	1	1	1	0	1	1	1	1	7	14708	49735	Future	314	0	0	0	314	100
496	Sacoglossis guianensis Benth.	melittophily	1	1	1	0	1	1	0	0	5	21570	44045	Generalist	0	0	431	0	431	0
497	Sagittaria rhombifolia Cham.	melittophily	1	1	0	0	1	1	1	0	5	17922	10141	Current	244	0	0	0	244	100
498	Sapium argutum (Müll.Arg.) Huber	melittophily	0	0	0	0	0	0	0	0	0	3940	9328	Generalist	0	209	0	0	209	0
499	Sauvagesia tenella Lam.	melittophily	1	1	1	0	1	1	1	0	6	19839	46881	Generalist	107	0	0	0	107	100
500	Scaphyglottis prolifera (R.Br.) Cogn.	melittophily	0	0	1	1	0	0	0	0	2	3420	36431	Future	0	405	0	0	405	0
501	Schizocalyx cuspidatus (A.St.-Hil.) Kainul. & B.Bremer	entomophily	0	0	0	0	0	0	0	0	0	28907	Future	122	0	0	0	122	100	
502	Schultesia benthamiana Klotsch ex Griseb.	melittophily	1	1	1	1	1	1	1	1	8	14233	64511	Future	0	0	54	0	54	0
503	Scleria cyperina Willd. ex Kunth	anemophily	1	1	0	0	1	0	0	0	3	23428	17983	Generalist	0	338	0	0	338	0
504	Scleria microcarpa Nees ex Kunth	anemophily	1	0	0	0	1	0	0	0	2	22170	6487	Current	0	567	0	0	567	0
505	Scleria secans (L.) Urb.	anemophily	1	0	0	0	0	0	0	0	1	20722	29233	Generalist	0	642	0	0	642	0
506	Scleria verticillata Muhl. ex Willd.	anemophily	1	1	1	1	1	1	1	0	7	22436	34795	Generalist	0	78	0	0	78	0

ID	Species	Pollination syndrome	2050 - 4.5 - Maxe nt	2070 - 4.5 - Maxe nt	2050 - 8.5 - Maxe nt	2070 - 8.5 - Maxe nt	205 - 4.5	207 - 4.5	205 - 8.5	207 - 8.5	models predicti ng presenc e	y axis on graphi c (figur e 6)	x axis on graphi c (figur e 6)	Classes_CLA M	Forest_LA ND USE	Human.modified_L AND USE	Open.vegetation_L AND USE	Others_LAN D USE	total_O CC POINT	% OCC POIN T on fore st _LAN D USE
			GL M	GL M	GL M	GL M	GL M	GL M	GL M	GL M	Y axis on graphi c (figur e 6)	X axis on graphi c (figur e 6)	Classes_CLA M	Forest_LA ND USE	Human.modified_L AND USE	Open.vegetation_L AND USE	Others_LAN D USE	total_O CC POINT	% OCC POIN T on fore st _LAN D USE	
507	<i>Scoparia dulcis</i> L.	melittophily	1	1	0	0	1	1	1	0	5	25619	3945	Current	0	0	2592	0	2592	0
508	<i>Secondatia densiflora</i> A.DC.	phalaenophil y	1	1	0	0	1	1	1	0	5	15788	25693	Generalist	393	0	0	0	393	100
509	<i>Securidaca diversifolia</i> (L.) S.F.Blaeke	melittophily	1	1	0	0	1	1	1	0	5	16616	6447	Current	1005	0	0	0	1005	100
510	<i>Senna macranthera</i> (DC. ex Collad.) H.S.Irwin & Barneby	melittophily	0	0	0	0	0	0	0	0	0	13	2649	Future	0	792	886	0	1678	0
511	<i>Senna pendula</i> (Willd.) H.S.Irwin & Barneby	melittophily	1	0	0	0	0	0	0	0	1	3304	44	Current	0	0	1626	0	1626	0
512	<i>Senna quinquangulata</i> (Rich.) H.S.Irwin & Barneby	melittophily	1	0	0	0	0	0	0	0	1	24722	14672	Current	0	0	734	0	734	0
513	<i>Senna silvestris</i> (Vell.) H.S.Irwin & Barneby	melittophily	1	1	1	0	1	1	1	0	6	26923	51449	Generalist	0	0	1690	0	1690	0
514	<i>Serjania caracasana</i> (Jacq.) Willd.	entomophily	0	0	0	0	0	0	0	0	0	1348	0	Current	954	0	0	0	954	100
515	<i>Serjania lethalis</i> A.St.-Hil.	entomophily	0	0	0	0	0	0	0	0	0	3052	Future	688	0	0	0	0	688	100
516	<i>Sida linifolia</i> Juss. ex Cav.	melittophily	1	1	0	0	1	1	1	0	5	8719	3864	Current	0	1126	0	0	1126	0
517	<i>Sida rhombifolia</i> L.	melittophily	1	1	0	0	0	0	0	0	2	17318	349	Current	0	2735	950	0	3685	0
518	<i>Sida tuberculata</i> R.E.Fr.	melittophily	0	0	0	0	0	0	0	0	0	4239	1	Current	0	0	116	0	116	0
519	<i>Sida urens</i> L.	melittophily	0	0	0	0	0	0	0	0	0	3974	2546	Current	617	0	0	0	617	100
520	<i>Simaba guianensis</i> Aubl.	entomophily	0	0	0	0	0	0	0	0	0	23737	31309	Generalist	200	0	0	0	200	100
521	<i>Simarouba amara</i> Aubl.	entomophily	1	1	0	0	1	0	0	0	3	27058	8608	Current	1489	0	0	0	1489	100
522	<i>Smilax irrorata</i> Mart. ex Griseb.	phalaenophil y	1	1	0	0	0	0	0	0	2	23924	12480	Current	85	0	0	0	85	100
523	<i>Sobralia liliastrum</i> Lindl.	melittophily	1	1	1	1	0	0	0	0	4	9814	12467	Generalist	0	281	0	0	281	0
524	<i>Solanum americanum</i> Mill.	melittophily	1	0	0	0	0	0	0	0	1	12459	122	Current	4825	0	0	0	4825	100
525	<i>Solanum campaniforme</i> Roem. & Schult.	melittophily	0	0	0	0	0	0	0	0	0	5021	0	Current	679	0	0	0	679	100
526	<i>Solanum coriaceum</i> Dunal	melittophily	0	0	0	0	0	0	0	0	0	13743	793	Current	213	0	0	0	213	100
527	<i>Solanum crinitum</i> Lam.	melittophily	1	1	0	0	1	1	1	0	5	28176	19008	Current	1129	0	0	0	1129	100
528	<i>Solanum incarceratum</i> Ruiz & Pav.	melittophily	0	0	0	0	0	0	0	0	0	247	4875	Future	186	0	0	0	186	100
529	<i>Solanum leucocarpum</i> Dunal	melittophily	0	0	0	0	0	0	0	0	0	21962	17312	Generalist	1161	0	0	0	1161	100
530	<i>Solanum paniculatum</i> L.	melittophily	0	0	1	1	0	0	0	0	2	796	3245	Future	1789	0	0	0	1789	100
531	<i>Solanum rugosum</i> Dunal	melittophily	0	0	0	0	0	0	0	0	0	23147	11054	Current	1061	0	0	0	1061	100
532	<i>Solanum schlechtendalianum</i> Walp.	melittophily	0	0	0	0	0	0	0	0	0	24838	143	Current	1531	0	0	0	1531	100
533	<i>Solanum semotum</i> M.Nee	melittophily	0	0	0	0	0	0	0	0	0	18080	11	Current	86	0	0	0	86	100
534	<i>Solanum sisymbriifolium</i> Lam.	melittophily	0	0	0	0	0	0	0	0	0	433	4078	Future	1505	0	0	0	1505	100
535	<i>Solanum subinerme</i> Jacq.	melittophily	1	0	0	0	1	1	0	0	3	28356	43064	Generalist	1341	0	0	0	1341	100

ID	Species	Pollination syndrome	2050 - 4.5 - Maxe nt	2070 - 4.5 - Maxe nt	2050 - 8.5 - Maxe nt	2070 - 8.5 - Maxe nt	205 GL M	207 GL M	205 GL M	207 GL M	models predicti ng presenc e	y axis on graphi c (figur e 6)	x axis on graphi c (figur e 6)	Classes_CLA M	Forest_LA ND USE	Human.modified_L AND USE	Open.vegetation_L AND USE	Others_LAN D USE	total_O CC POINT	% OCC POIN T on fore st _LAN D USE
			2050 - 4.5 - Maxe nt	2070 - 4.5 - Maxe nt	2050 - 8.5 - Maxe nt	2070 - 8.5 - Maxe nt	205 GL M	207 GL M	205 GL M	207 GL M	models predicti ng presenc e	y axis on graphi c (figur e 6)	x axis on graphi c (figur e 6)	Classes_CLA M	Forest_LA ND USE	Human.modified_L AND USE	Open.vegetation_L AND USE	Others_LAN D USE	total_O CC POINT	% OCC POIN T on fore st _LAN D USE
53 6	<i>Solanum tegore</i> Aubl.	melittophily	0	0	0	0	0	0	0	0	0	20455	24034	Generalist	76	0	0	0	76	100
53 7	<i>Solanum torvum</i> Sw.	melittophily	0	0	0	0	0	0	0	0	0	11309	326	Current	2803	0	0	0	2803	100
53 8	<i>Solanum uncinellum</i> Lindl.	melittophily	0	0	0	0	1	1	0	0	2	25437	7629	Current	917	0	0	0	917	100
53 9	<i>Solanum velutinum</i> Dunal	melittophily	0	0	0	0	0	0	0	0	0	14374	29	Current	278	0	0	0	278	100
54 0	<i>Sorghum halepense</i> (L.) Pers.	anemophily	0	0	0	0	0	0	0	0	0	12	18956	Future	1063	0	41	0	1104	96.29
54 1	<i>Souroubea guianensis</i> Aubl.	ornithophily	1	1	0	0	0	0	0	0	2	13005	20008	Generalist	0	0	580	0	580	0
54 2	<i>Spathiphyllum gardneri</i> Schott	cantharophil y	0	0	0	0	0	0	0	0	0	6359	4724	Generalist	47	0	0	0	47	100
54 3	<i>Spathiphyllum humboldtii</i> Schott	cantharophil y	0	0	0	0	0	0	0	0	0	7391	140	Current	68	0	0	0	68	100
54 4	<i>Spermacoce exilis</i> (L.O.Williams) C.D.Adams	entomophily	0	0	0	0	0	0	0	0	0	15325	4483	Current	367	0	0	0	367	100
54 5	<i>Spiranthera parviflora</i> Sandwith	phalaenophil y	0	0	0	0	0	0	0	0	0	18913	8117	Current	79	0	0	0	79	100
54 6	<i>Sporobolus indicus</i> (L.) R.Br.	anemophily	0	0	0	0	0	0	0	0	0	1646	60	Current	9136	2	0	2	9140	99.96
54 7	<i>Steinchisma laxum</i> (Sw.) Zuloaga	anemophily	1	0	0	0	0	0	0	0	1	17286	3891	Current	2451	0	0	0	2451	100
54 8	<i>Steirachne barbata</i> (Trin.) Renvoize	anemophily	0	0	0	0	0	0	0	0	0	841	3902	Future	28	0	0	0	28	100
54 9	<i>Stemodia verticillata</i> (Mill.) Hassl.	melittophily	0	0	0	0	0	0	0	0	0	5694	582	Current	0	0	367	0	367	0
55 0	<i>Stigmaphyllon paraense</i> C.E.Anderson	melittophily	0	0	0	0	0	0	0	0	0	9641	6763	Generalist	0	24	0	0	24	0
55 1	<i>Streptostachys asperifolia</i> Desv.	anemophily	1	1	1	1	0	0	0	0	4	12616	4269	Current	337	0	0	0	337	100
55 2	<i>Struthanthus marginatus</i> (Desr.) G.Don	entomophily	0	0	0	0	0	0	0	0	0	1398	0	Current	0	420	0	0	420	0
55 3	<i>Struthanthus polyrhizus</i> Mart.	entomophily	0	0	0	0	0	0	0	0	0	16234	0	Future	0	153	0	0	153	0
55 4	<i>Strychnos cogens</i> Benth.	ornithophily	0	0	0	0	0	0	0	0	0	16840	47534	Generalist	0	100	0	0	100	0
55 5	<i>Stryphnodendron pulcherrimum</i> (Willd.) Hochr.	melittophily	1	0	0	0	1	0	0	0	2	23703	20616	Generalist	0	0	602	0	602	0
55 6	<i>Stylosanthes capitata</i> Vogel	melittophily	1	1	1	1	1	1	1	0	7	4501	10818	Generalist	0	0	474	0	474	0
55 7	<i>Stylosanthes hispida</i> Rich.	melittophily	0	0	0	0	0	0	0	0	0	16025	5758	Current	0	0	64	0	64	0
55 8	<i>Stylosanthes humilis</i> Kunth	melittophily	1	1	1	1	1	1	1	1	8	17051	52863	Future	0	0	463	0	463	0
55 9	<i>Styrax griseus</i> P.W.Fritsch	melittophily	0	0	0	0	0	0	0	0	0	5477	15490	Generalist	26	0	0	0	26	100
56 0	<i>Styrax pohlii</i> A.DC.	melittophily	0	0	0	1	0	0	0	0	1	1881	40694	Future	120	0	0	0	120	100
56 1	<i>Syagrus cocoides</i> Mart.	entomophily	1	1	1	1	1	1	1	1	8	19814	73853	Future	69	0	0	0	69	100
56 2	<i>Symponia globulifera</i> L.f.	melittophily	0	0	0	0	0	0	0	0	0	20313	11807	Current	2184	0	0	0	2184	100
56 3	<i>Syngonanthus caulescens</i> (Poir.) Ruhsland	anemophily	1	0	0	0	1	1	0	0	3	21882	36458	Generalist	0	960	0	0	960	0
56 4	<i>Syngonanthus simplex</i> (Miq.) Ruhsland	anemophily	0	0	1	1	1	0	0	0	3	17715	57879	Future	0	66	0	0	66	0

ID	Species	Pollination syndrome	2050 - 4.5 - Maxe nt	2070 - 4.5 - Maxe nt	2050 - 8.5 - Maxe nt	2070 - 8.5 - Maxe nt	205 GL M	207 GL M	205 GL M	207 GL M	models predicti ng presenc e	y axis on graphi c (figur e 6)	x axis on graphi c (figur e 6)	Classes_CLA M	Forest_LA ND USE	Human.modified_L AND USE	Open.vegetation_L AND USE	Others_LAN D USE	total_O CC POINT	% OCC POIN T on fore st _LAN D USE	
			2050 - 4.5 - Maxe nt	2070 - 4.5 - Maxe nt	2050 - 8.5 - Maxe nt	2070 - 8.5 - Maxe nt	205 GL M	207 GL M	205 GL M	207 GL M	models predicti ng presenc e	y axis on graphi c (figur e 6)	x axis on graphi c (figur e 6)	Classes_CLA M	Forest_LA ND USE	Human.modified_L AND USE	Open.vegetation_L AND USE	Others_LAN D USE	total_O CC POINT	% OCC POIN T on fore st _LAN D USE	
565	<i>Tabernaemontana flavicans</i> Will ex Roem. & Schult.	phalaenophil y	1	1	0	0	1	1	1	0	5	27777	28294	Generalist	446	0	0	0	446	100	
566	<i>Tabernaemontana heterophylla</i> Vahl	phalaenophil y	0	0	0	0	0	0	0	0	0	25501	45730	Generalist	663	0	0	0	663	100	
567	<i>Tabernaemontana macrocalyx</i> Müll.Arg.	phalaenophil y	1	1	1	1	0	0	0	0	4	18889	52494	Generalist	378	0	0	0	378	100	
568	<i>Tachigali vulgaris</i> L.G.Silva & H.C.Lima	melittophily	1	1	1	1	1	1	1	0	7	20774	43996	Generalist	0	0	0	357	0	357	0
569	<i>Tapirira guianensis</i> Aubl.	melittophily	1	1	0	0	1	1	0	0	4	26212	21540	Generalist	5693	0	0	0	5693	100	
570	<i>Tarenaya spinosa</i> (Jacq.) Raf.	chiropteroph ily	1	0	0	0	0	0	0	0	1	9646	8517	Generalist	765	0	0	0	765	100	
571	<i>Thrysodium spruceanum</i> Benth.	melittophily	1	0	0	0	0	0	0	0	1	20016	163	Current	514	0	0	0	514	100	
572	<i>Tibouchina edmundoi</i> Brade	melittophily	0	0	0	0	0	0	0	0	0	6221	793	Current	0	0	0	13	0	13	0
573	<i>Tilesia baccata</i> (L.) Pruski	melittophily	1	1	0	0	0	0	0	0	2	27304	12350	Current	1744	0	0	0	1744	100	
574	<i>Tillandsia paraensis</i> Mez	ornithophily	1	0	0	0	1	1	0	0	3	20307	47879	Generalist	220	0	0	0	220	100	
575	<i>Tillandsia streptocarpa</i> Baker	ornithophily	0	0	0	0	0	0	0	0	0	233	0	Current	450	0	0	0	450	100	
576	<i>Tocoyena formosa</i> (Cham. & Schldl.) K.Schum.	phalaenophil y	1	1	0	0	0	0	0	0	2	1458	766	Current	1625	0	0	0	1625	100	
577	<i>Tonclea laxiflora</i> (Benth.) A.C.Sm.	entomophily	0	0	0	0	0	0	0	0	0	19882	5296	Current	159	0	0	0	159	100	
578	<i>Trachypogon spicatus</i> (L.f.) Kuntze	anemophily	1	1	0	0	0	0	0	0	2	15422	3815	Current	1906	0	0	0	1906	100	
579	<i>Trema micrantha</i> (L.) Blume	entomophily	1	0	0	0	0	0	0	0	1	18372	1493	Current	5914	0	0	0	5914	100	
580	<i>Trichilia micrantha</i> Benth.	melittophily	0	0	0	0	1	0	0	0	1	25483	32821	Generalist	0	0	0	462	0	462	0
581	<i>Trichocentrum sprucei</i> (Lindl.) M.W.Chase & N.H.Williams	melittophily	0	0	0	0	0	0	0	0	0	3634	8895	Generalist	0	17	0	0	17	0	
582	<i>Trigonia nivea</i> Cambess.	melittophily	1	0	0	0	0	0	0	0	1	1041	2053	Generalist	1153	0	0	0	1153	100	
583	<i>Turbina cordata</i> (Choisy) D.F.Austin & Staples	melittophily	0	0	0	0	0	0	0	0	0	2	0	rare	199	0	0	0	199	100	
584	<i>Turnera glaziovii</i> Urb.	melittophily	0	0	0	0	1	1	0	0	2	9028	51511	Future	44	0	0	0	44	100	
585	<i>Uncaria guianensis</i> (Aubl.) J.F.Gmel.	phalaenophil y	1	0	0	0	1	1	1	1	5	24762	83584	Future	832	0	0	0	832	100	
586	<i>Unxia camphorata</i> L.f.	melittophily	1	1	1	1	0	0	0	0	4	20204	26170	Generalist	257	0	0	0	257	100	
587	<i>Urena lobata</i> L.	melittophily	0	0	0	0	0	0	0	0	0	25623	262	Current	0	0	907	0	907	0	
588	<i>Urera caracasana</i> (Jacq.) Griseb.	anemophily	0	0	0	0	0	0	0	0	0	14198	651	Current	1563	0	0	0	1563	100	
589	<i>Utricularia amethystina</i> Salzm. ex A.St.-Hil. & Girard	melittophily	0	0	0	0	0	0	0	0	0	21013	29455	Generalist	290	111	0	0	401	72.32	
590	<i>Utricularia breviscapa</i> C.Wright ex Griseb.	melittophily	1	1	1	1	1	1	1	1	8	15597	87769	Future	0	62	0	0	62	0	
591	<i>Utricularia calycifida</i> Benj.	melittophily	0	0	0	0	0	0	0	0	0	9217	7540	Generalist	0	39	0	0	39	0	
592	<i>Utricularia costata</i> P.Taylor	melittophily	0	0	0	0	0	0	0	0	0	2382	5623	Generalist	0	7	0	0	7	0	
593	<i>Utricularia gibba</i> L.	melittophily	1	1	0	0	0	0	0	0	2	10268	22542	Generalist	0	831	0	0	831	0	

ID	Species	Pollination syndrome	2050 - 4.5 - Maxe nt	2070 - 4.5 - Maxe nt	2050 - 8.5 - Maxe nt	2070 - 8.5 - Maxe nt	205 GL M	207 GL M	205 GL M	207 GL M	models predicti ng presenc e	y axis on graphi c (figur e 6)	x axis on graphi c (figur e 6)	Classes_CLA M	Forest_LA ND USE	Human.modified_L AND USE	Open.vegetation_L AND USE	Others_LAN D USE	total_O CC POINT	% OCC POIN T on fore s t _LAN D USE
			2050 - 4.5 - Maxe nt	2070 - 4.5 - Maxe nt	2050 - 8.5 - Maxe nt	2070 - 8.5 - Maxe nt	205 GL M	207 GL M	205 GL M	207 GL M	models predicti ng presenc e	y axis on graphi c (figur e 6)	x axis on graphi c (figur e 6)	Classes_CLA M	Forest_LA ND USE	Human.modified_L AND USE	Open.vegetation_L AND USE	Others_LAN D USE	total_O CC POINT	% OCC POIN T on fore s t _LAN D USE
59 4	<i>Utricularia neottiooides</i> A.St.-Hil. & Girard	melittophily	1	1	1	1	0	0	0	0	4	3605	21568	Future	0	268	0	0	268	0
59 5	<i>Utricularia nigrescens</i> Sylvén	melittophily	0	0	0	0	0	0	0	0	0	2954	53	Current	0	34	0	0	34	0
59 6	<i>Utricularia pusilla</i> Vahl	melittophily	1	1	0	0	0	0	0	0	2	25641	8246	Current	0	256	0	0	256	0
59 7	<i>Utricularia subulata</i> L.	melittophily	1	1	0	0	1	1	0	0	4	23564	22342	Generalist	0	546	0	0	546	0
59 8	<i>Utricularia trichophylla</i> Spruce ex Oliv.	melittophily	1	0	0	0	0	0	0	0	1	10909	9	Current	0	93	0	0	93	0
59 9	<i>Vismia cayennensis</i> (Jacq.) Pers.	melittophily	1	1	0	0	1	0	0	0	3	24351	40338	Generalist	0	0	679	0	679	0
60 0	<i>Vismia gracilis</i> Hieron.	melittophily	1	0	0	0	0	0	0	0	1	22993	11751	Current	0	0	395	0	395	0
60 1	<i>Vitex trifolia</i> Vahl	melittophily	0	0	1	1	1	1	1	1	6	4625	63129	Future	21	0	0	0	21	100
60 2	<i>Vochysia haenkeana</i> Mart.	melittophily	1	0	0	0	0	0	0	0	1	7671	5318	Generalist	329	0	0	0	329	100
60 3	<i>Waltheria indica</i> L.	melittophily	1	1	1	0	0	0	0	0	3	10644	1955	Current	0	0	3766	0	3766	0
60 4	<i>Wolfenia brasiliensis</i> Wedd.	cantharophil y	0	0	0	0	0	0	0	0	0	10721	Future	161	0	0	0	161	100	
60 5	<i>Xylopia aromatica</i> (Lam.) Mart.	cantharophil y	1	1	0	0	1	1	0	0	4	25645	37618	Generalist	2169	0	0	0	2169	100
60 6	<i>Xyris brachysepala</i> Kral	melittophily	0	0	0	0	0	0	0	0	0	1595	18483	Future	15	0	0	0	15	100
60 7	<i>Xyris lacerata</i> Pohl ex Griseb. – Falcão 453	melittophily	1	1	1	1	0	0	0	0	4	14318	50775	Future	106	0	0	0	106	100
60 8	<i>Zornia latifolia</i> Sm.	melittophily	1	1	0	0	1	1	1	0	5	25085	17207	Generalist	0	0	954	0	954	0